

ԹԵՐԵՎԱՆԻ ՊՈՂԻԵՆԻ ԽՍԹԻԿՈՒՅԹԻ ԽԱՆՁԻՑՈՒՅԹ ԿԱՐԴ ՄԱՐՔԻ անվան

# ԳԻՏԱԿԱՆ ԱՇԽԱՏԱՆՔՆԵՐԻ ԺՈՂՈՎԱԾՈՒՅՈՒՆ

-▲-

Ֆրիզանսкий Политехнический Институт им. Карла Маркса

## СБОРНИК НАУЧНЫХ ТРУДОВ

Գ Ե Զ Ա Կ Ո Ւ Հ Ր Ա Ց Ո Ր Ա Կ Չ Զ Ո Ւ Թ Վ Ա Ւ Ն  
ГОСУДАРСТВЕННОЕ ИЗДАТЕЛЬСТВО  
ՅԵՐԵՎԱՆ 1936 ԷՐԻՎԱՆԻ

; 691



082

ԱՅՐԻՑՎԱԾ է 1931 թ.

5-81

ԳԻՏԱԿԱՆ ԱՇԽԱՏԱՆՔՆԵՐԻ  
ԺՈՂՈՎԱԾՈՒՅՈՒՆ

—▲—

Էրևանский Политехнический Институт им. Карла Маркса

СБОРНИК НАУЧНЫХ ТРУДОВ



ԳԻՏԱԿԱՆ ՀՐԱՏԱՐԱԿՉՈՒԹՅՈՒՆ

ГОСУДАРСТВЕННОЕ ИЗДАТЕЛЬСТВО

ՅԵՐԵՎԱՆ

1936

ԷՐԻՎԱՆ

Պատ. խմբագիր՝ Հ. Բաբաջանյան  
Տեխ. խմբագիր՝ Գ. Զենյան  
Լեզվ. խմբագիր՝ Հ. Պետրոսյան  
Սրբագրիչ՝ Ա. Շահբաղյան

Գլաւիլիս 2006. Պատկեր 95. Հրատ. 3598. Տիրաժ 1000.

Հանձնված եւ արդարության 10 փետրվարի 1936.

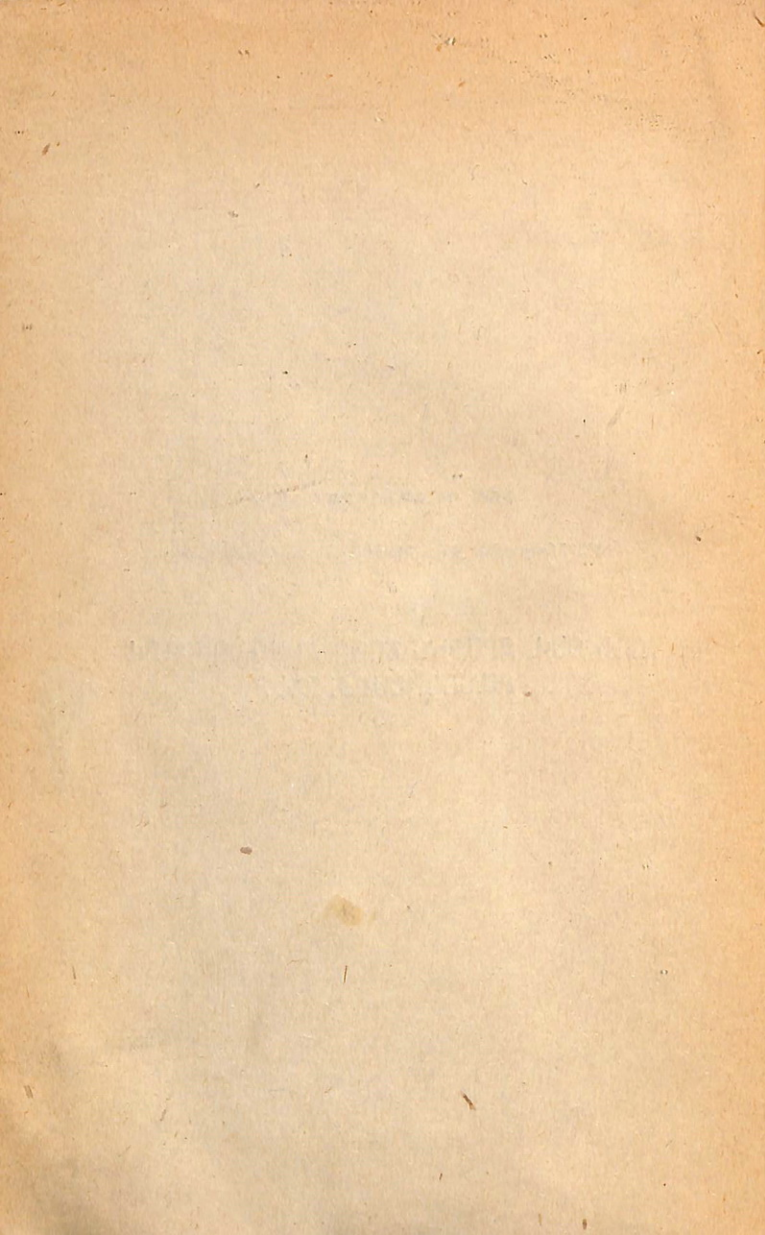
Ստորագրված եւ տպագրության 28 փետրվարի 1936.

Պետհրատի տպարան, Ելերևան, Խ Պատշաճ, 4.

ԻՆԺ. Դ. ՀԱԿՈԲՅԱՆՑՅ.Ն

ՄԻՔԵԼԱՅԱԳԻՔ. յեզ մեխանիկաց. ամբիոնի վարիչ

ՈՂԻ ՅԵՎ ԶՐԱՅԻՆ ՇՈԳՈՒ ԽԱՌՆՈՒՐԴՈՎ  
ԲԱՆՈՂ ՇԱՐԺԻՉՆԵՐ



Ժամանակակից շոգեմեքենան և շոգետուրբինը կապված են շուրեկաթսայի հետ, վոր ծառալում ե շոգի պատրաստելու համար և վորքի մեջ վառելիքի արտադրած ջերմության մի զգալի մասը՝  $20^{\circ}$ — $25^{\circ}$ ՝ անողության մեջ մասամբ՝  $20^{\circ}$ — $25^{\circ}$ ՝ անողության մեջ մասամբ՝ ծխանից դեղի մթնոլորտը, առանց մասնակցելու մեքենայի մեջ տեղի ունեցող աշխատանքալին պլրոցեսին:

Սակայն ազգորինակ ջերմային կորուստները կարելի յե կանխել, չեթե զուտ ջրային շոգու փոխարեն իրեք էնությ կիրառենք ողի և ջրալին շոգու խառնուրդը, վորով հնարավոր կլինի վորոշափով բարձրացնել մեքենայի ջերմային արդյունավետ գործողության գործակիցը:

Ողի և ջրալին շոգու այս խառնուրդը պատրաստվում ե մի հատուկ կաթսայի մեջ, ուր համապատասխան ճնշման տակ մտցվում են սեղմված ողի և վառելիք (հեղուկ, պինդ կամ գաղային վիճակում): Կաթսայի մեջ տեղի յե ունենում այրում անփոփոխ ճնշման տակ, և այրման գաղերի մեջ շարունակ ջուր ե սրսկվում՝ տաքացրած մինչեւ շոգիացման աստիճան և ավելի բարձր, նոսր, փոշիացրած վիճակում. փոշիացումը տեղի յե ունենում անփոփոխ ճնշման տակ (շնորհիվ այրման գաղերի բարձր բարեխառնության) և նույնիսկ գերատաքացվում ե մինչև ցանկացած ջերմաստիճանը: Այսպիսով կաթսայի մեջ ստացվում ե ողի և շոգու մի խառնուրդ, ավելի ճիշտ ասած՝ այրման գաղերի և ջրալին շոգու խառնուրդ, վորոշ ճնշման տակ, վորն իրեք էնությունում տարվելով մխոցավոր շոգեմեքենայի կամ առողջինի մեջ՝ կարողանում ե նրանց բանեցնել և ջերմային եներդիան վերածել մեխանիկական աշխատանքի:

Այսպիսի խառնուրդով բանող մեքենաները, զուտ ջրային շոգիով բանող շոգեմեքենաներից և շոգետուրբիններից զանազանելու համար, կարելի յե անվանել ողաշոգեմեքենա և ողաշոգետուրբին, ինչպես և կաթսան պետք ե անվանել ողաշոգեկաթսա (նկար 1):

Այս խառնուրդով կարող են բանել սովորական բացփուրք շոգեմեքենան (առանց կոնդենսացիայի), ինչպես և սովորական շոգետուրբինը (նույնպես առանց կոնդենսացիայի)՝ ամենակին պետք չունենալով վորեւ ելական փոփոխություն մտցնելու իրանց կառուցվածքի

մեջ: Այնպիս վոր կարելի յե ասել՝ ողաշողեմեքենան և ողաշողետուրբոինը նույն կառուցվածքն ունեն, ինչ վոր սովորական բաց փուք շողեմեքենան և շողետուրբոինը, միայն այն տարրերությամբ, վոր տռաջններին անհրաժեշտ ե ունենալ մի կոմպրեսոր, վորը ողաշողեկաթսալին պետք ե տա այրման համար անհրաժեշտ ողը՝ սեղմված վիճակում, պահանջված ճնշման տակ, և վորն այրումից հետո խառնվելով ջրային շոգուն—վերջինիս հետ միասին պիտի մասնակցի աշխատանքային պրոցեսին մեքենայի մեջ:

Այդ կոմպրեսորը, վոր ողաշողեմեքենայի կամ ողաշողետուրբոինի անհրաժեշտ մասն ե կազմում, պետք ե բանի կամ մեքենայի գըլշավոր լիսեռից և կամ անմիջապես մխոցակոթից:

Նմանապես և ողաշողեկաթսան, իբրև ողաշողեմեքենայի կամ ողաշողետուրբոինի անհրաժեշտ մաս, պետք ե անմիջականորեն կցված լինի յուր մեքենային՝ ստանալով շատ ավելի փոքր ծավալ, քան նույն կարողության սովորական տիպի շոգեկաթսաները:

Նկար 1-ում ցույց ե տրված այդպիսի ողաշողեկաթսայի սքեման, վորի հնոցի մեջ մտցվում ե սեղմված որ՝ պատշաճ ճնշման, բուցացրի միջոցով սրսկվում ե նալիքը և այրվում անփոփոխ ճնշման տակ. ալրված գաղերը, բարձր բարեխառնությամբ, անցնում են դեպի շոգիացման կամերը, ուր նրանց մեջ սրսկիչների միջոցով ջուր և սրբակվում փոշիացած վիճակում, և այդ ջուրն անմիջապես շոգիանում և անփոփոխ ճնշման տակ, և ստացված շոգին՝ գերատաքացման և այրված գաղերի հետ խառն՝ տարպում ե խողովակով՝ դեպի ողաշողեմեքենան կամ ողաշողետուրբոինը: Շոգու գերատաքացման աստիճանը կախում ունի, ինարկե, վառելիքի, ոդի և սրսկվող ջրի քանակություններից:

Ստորև իբրև որինակ բերված հաշվումները կատարված են մխօցավոր ողաշողեմեքենայի համար, և նրանց նպատակն ե պարզեցնել այդպիսի մեքենայի աշխատանքային պայմանները:

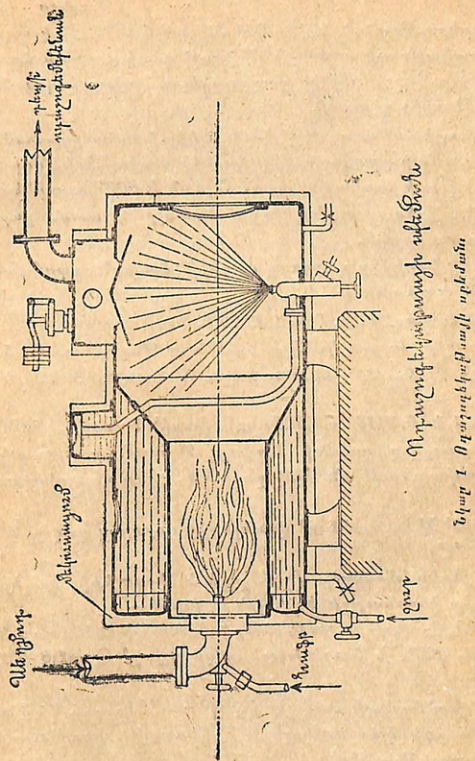
Այս հաշվումներին իբրև հիմք ընդունված են հետևյալ տվյալները.

1. Մի վայրկյանում ծախովող վառելիքի քանակությունը = 0,1 kg/sec նավթ 10000 Cal/kg ջերմատվունակությունը = 0,1

2. 0,1 kg/sec նավթի լիովին այրման համար ծախովող ոդի քանակությունն ընդունված է = 1,8 kg/sec ոդ, այսինքն՝ վառելիքի 18-ապատիկը:

3. Յուրաքանչյուր վայրկյան սրսկվող ջրի քանակությունը = 1,1 kg/sec ջուր, վոր պետք ե իսկույն շոգիանա (ընդունելով, վոր 1 kg նավթ այրելով՝ կարելի յե ստանալ 10—12 kg շոգի կամ միջին հաշվով 11 kg շոգի):

4. Կաթսայի մեջ պահվող ճնշումը = 7 ատմ. (բացարձակ);  
 5. Շողու գերատաքացման աստիճանը =  $500^{\circ}\text{C}$ ; Այս ջերմաստիճանը պիտի լինի շոգիացման կամերում;  
 6. Կաթսայի մեջ տրվող ջրի սկզբնական ջերմաստիճանը =  $80^{\circ}\text{C}$ .



7. Հնոցի մեջ տրվող սեղմողի սկզբնական ջերմաստիճանը =  $120^{\circ}\text{C}$ .  
 Հիմնվելով վերոհիշյալի վրա՝ 0,1 kg նավթի այրումից ստացվող ջերմությունը՝ 1000 Cal կծախսվի հետեւյալ կերպ.

1,8 kg սեղմոդը 500°C կլանում և 0,24(500—120). 1,8=164,16 Cal  
 1,1 kg ջրային շոգին՝ 7 ատմ. բացարձակ ճնշման և 500°C  
 գերատաքացումով, ընդունելով ջրի սկզբանական ջերմաս-  
 տի ճանը 120°C, կլանի՝ . . . 1,1 (831,5—80) = 827,15 Cal

Գումար 991,15 Cal

Տարբերությունը՝ 1000—991,31 = 8,69 Cal/sek, կարող և կազմել  
 կորուստը—կաթսալի պատերի միջոցով դեպի գուրս և ճառագայթման  
 միջոցով: Այս կորուստները փոքրացնելու համար կաթսան Մջապատ-  
 վում և մեկուսիչ շերտով:

Կաթսայի մեջ ստացվող յեռանդակիր խառնուրդի ծավալը կկազմ-  
 վի իրեն գումար բաղկացուցիչ մասերի ծավալների, վորոնք են՝  
 $V_1 = 1,8$  kg ողի ծավալը 7 ատմ. ճնշման և 500°C բարեխառնության.  
 $V_2 = 1,1$  kg ջրից ստացվող շոգու ծավալը 7 ատմ. բաց. և 500°C  
 գերատաքացած.

$V_3 = 0,1$  kg նավթից գոյացող գաղերի ծավալն այլրեման ժամանակ՝  
 նույն պայմաններում:

$V^1. 70000 = 1,8. R. T = 1,8. 29,3. 773,$

վորտեղից կատացվի  $V_1 = 0,5823 \text{ m}^3$  (ող՝ 7 ատմ., 500°C): Բառ-  
 ադյուսակի (Տաbl. ձևական պարագաներում)  $\pi_{\text{v}} = 1,051$

$V_2 = 1,1. 0,5158 = 0,5674 \text{ m}^3$  (շոգ՝ 7 ատմ., 500°C): 0,1 kg  
 նավթից ստացվող գաղերի ծավալը 7 ատմ. բացարձակ ճնշման և  
 500°C բարեխառնության տակ ընդունում ենք մոտավորապես = 0,051  
 $\text{m}^3$ :

Ուրեմն՝  $V_3 = 0,051 \text{ m}^3$  վառելիքից գոյացող գաղեր 7 ատմ. ճնշ-  
 ման և 500°C:

Այս յերեք մասերից (ող, շոգ և վառելիքի գաղեր) գոյացող  
 յեռանդակիր խառնուրդի ծավալը՝  $V$  կլինի —

$V = V_1 + V_2 + V_3 = 0,5823 + 0,5674 + 0,051 = 1,2 \text{ m}^3/\text{sek}$  (7  
 ատմ. բաց., 500°C): Նույն խառնուրդի կշիռը՝  $G = 1,8 + 1,1 + 0,1 =$   
 = 3 kg:

1 kg խառնուրդի ծավալը կլինի՝  $v = V : 3 = 1,2 : 3 = 0,4 \text{ m}^3$ :

Խառնուրդի կոնստանտը՝  $R_m$  կատացվի խառնուրդի վիճակա-  
 յին հավասարությունից՝

$0,4. 70000 = R_m \cdot 773,$

վորտեղից  $R_m = 36,22$ , վոր կարելի յե համարել բավարար ճշու-  
 թյան:

Յեթե  $1,3 \text{ m}^3$  խառնուրդը՝ 7 ատմ. բաց. ճնշման և 500°C բարե-  
 խառնության, մտցվելով մխոցավոր մեքենայի դլանի մեջ՝ հասրավո-

ըություն ստանա ընդարձակվելու ըստ աղիարատի մինչև 2 առաջ-  
բաց. ճնշման, ապա աղիարատային ընդարձակումից հետո նրա ըն-  
դունած ծավալը՝  $V_c$  կարելի յե վորոշել հետևյալ հավասարությունից՝  
 $V^k \cdot 70000 = V_c^k \cdot 20000$ :

Աստիճանացույցը՝  $K$  այս խառնուրդի համար ընդունում ենք  $= 1,37$ :  
Ուրեմն կարելի յե գրել՝

$$1,37 \cdot 70000 = V_c^{1,37} \cdot 20000,$$

վորտեղից  $V_c = 3m^3$ :

Ընդարձակման վերջում խառնուրդի բարեկառնությունը կլինի՝  
 $3 \cdot 20000 = 36,22 (273^\circ + t) \times 3$ .

$$t = 279^\circ C:$$

Նկար 2-ը ներկայացնում է դիագրամն այդ խառնուրդի կատարած  
աշխատանքը, վոր տեղի յե ունենում ողաշողեմեքենալի գլանի մեջ:  
Դիագրամից յերեսում ե, վոր աշխատած խառնուրդի արտածումը,  
յենթաղբում ե, թե տեղի յե ունենում 1,1 ատմ. ճնշման տակ:

1,2 m<sup>3</sup> յեռանդակիր խառնուրդի կատարած աշխատանքը մեքե-  
նալի մեջ՝ բաղկացած ե հետևյալ մասերից.—

1. Լցման ընթացքում կատարվող աշխատանք ( $\eta$ րական) —  
 $1,2 \cdot 59000 = 70800$  kgm:

2. Աղիարատային ընդարձակման ընթացքում կատարվող դրա-  
կան աշխատանք՝

3.  $36,22 \cdot \frac{1}{1,37 - 1} (773 - 552) - 1,8 \cdot 11000 = 3.98.221 - 19800 = 45171$  kgm:

3. Սեղմման ժամանակ կատարվող բացասական աշխատանք,  
վոր ստացվում ե հավասար  $5150$  kgm:

Այսպիսով  $1,2 m^3$  խառնուրդը՝ 7 ատմ. բաց. ճնշումով՝ մեքե-  
նալի գլանի մեջ կատարում ե մի աշխատանք, վոր հավասար ե՝  
 $70800 + 45174 - 5150 = 110824$  kgm:

Յեթե աշխատանքի մեծությունը վորոշելու լինենք նկ. 2 դիա-  
գրամից, ապա կատացվի համարյա նույնը, շատ փոքր տարբերու-  
թյամբ:

Յեթե  $1,2 m^3$  խառնուրդը գործադրելու լինենք յուրաքանչյուր  
վայրկան, ապա ստացվող աշխատանքը  $110824$  kgm/sec կկազմի մեքե-  
նալի կարողությունը, վորն արտահայտելով ձիառուժերով, կլինի՝  
 $110824 : 75 = 1477,3$  ձիառուժ,

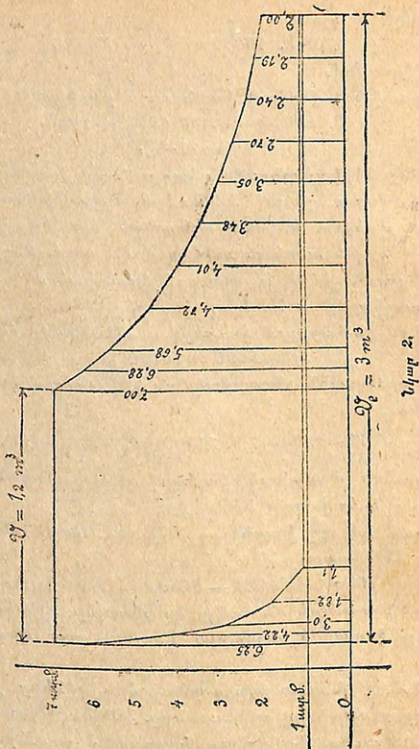
Վորը կլինի ողաշողեմեքենայի ինդիկատորային կարողությունը:

1 ձիառուժ ինդիկատորային կարողության վրա 1 ժամում ծախս-  
վող վառելիքի (սալթի) քանակը կլինի՝

$$\frac{0,1 \cdot 3600}{1477,3} = 0,243 \text{ kg}/1 \text{ ձիառուժաժամ}$$

Զերմային արդյունավետ գործողության գործակիցն ըստ ինդի-  
կատորային կարողության կտացվի՝

$$\eta_{lh} = \frac{110824}{1000.427} \cong 0,26, \text{ այսինքն մոտ } 26\%,$$



Ընդունելով մեքենայի մեխանիկական արդյունավետ գործողու-  
թյան գործակիցը միջին հաշվով՝ հավասար 0.91՝ մեքենայի լիսու-  
թը ստացվող ուժավետ կարողությունը կլինի՝  
1477,3. 0,91 = 1344,34 ձիառուժ:

Այս վերջինից ել 540 ձիառուժ կարողություն պետք է ծախսվի  
կոմպրեսորի վրա, վոր յուրաքանչյուր ժամ պիտի մատակարարի

$\frac{1,8 \cdot 3600}{1,2} = 5400 \text{ m}^3$  ոդ 1 ատմ. ձնշման և  $20^\circ$  սկզբնական բարեխառության մուլթիպլիք:

Կոմպրեսորի վրա ծախսվող կարողությունը կարելի յե հաշվել հետևյալ կերպ: Նկատի ունենալով, վոր լուրաքանչյուր վայրկյան պետք և սեղմիլի 1,8 kg ոդ մինչև  $7,4$  ատմ. ձնշման, վորի ժամանակ ոդի ջերմաստիճանը բարձրանում և  $20^\circ$ -ից մինչև մոտավորապես  $228^\circ\text{C}$ , կոմպրեսորի աշխատանքն այս պայմանների համար կլորություն:

$$L = 427. 1,8. C_v (228^\circ - 20^\circ)$$

$$= 427. 1,8. 0,243. 208$$

$$= 427. 91,1 = 38900 \text{ kgm/sec},$$

Վորը վերածելով ձիառուժերի, կլինի՝  
 $38900 : 75 = 518,7$  ձիառուժ:

Ընդունելով միաստիճանի կոմպրեսորի համար արդյունավետ գործողության գործակիցը  $= 0,82$ , նրա վրա ծախսվող կարողությունը կստացվի՝

$$518,7 : 0,82 \cong 633 \text{ ձիառուժ:}$$

Սակայն  $7-8$  ատմ. սեղմման համար գերազասելի յե կիրառել ինքաստիճան կոմպրեսոր, վոր տալիս և առնվազն  $15^\circ\%$  եներգիայի խնայողություն, վորով և յերկաստիճան կոմպրեսորի վրա կծախսվի՝  
 $633 - 0,15. 633 \cong 540$  ձիառուժ:

Մնացորդը՝  $1344 - 540.804$  ձիառուժը կլինի ողաշողեմեքենայի եփեկտիվ կարողությունը, վորի վերաբերմաքը ջերմային արդ. գործակիցը կստացվի  $0,14$ , այսինքն՝  $14^\circ\%$ , վոր զգալի չափով ավելի բարձր և, քան սովորական բացփուք շոգեմեքենայի համապատասխան գործակիցը: Այս կլինի նաև տնտեսական ա. գ. դ.:

Զերմության ծախսը, հաշված մեկ եփեկտիվ ձիառուժաժամի վրա, կստացվի՝

$$\frac{0,1. 3600. 10000}{804} \cong 4480 \text{ Cal/1 եփեկտ. ձիառուժաժամ:}$$

Մինչդեռ բացփուք շոգեմեքենայի մոտ ջերմության ծախսը կազմում է  $7000 \text{ cal/եփ.}$  ձիառուժաժամ, ըստ այսմ և ջերմային գործակիցը  $0,9$  կամ  $90^\circ\%$ :

Վառելիքի ծախսը 1 եփեկտիվ ձիառուժաժամի համար կլինի՝

$$\frac{360}{804} \cong 0,448 \text{ kg/եփ. ձիառուժաժամ:}$$

Իբրև վառելիք այս դեպքում նկատի յե առնված նավթը:

Յեռանդակիր խառնուրդի բաշխումն ողաշողեմեքենայի մոտ տեղի յե ունենալու նույն կերպով, ինչպես վոր շոգու բաշխումը շոգեմեքենայի մոտ:

Ողաշոգեմեքենալի կանոնավորումը նույնպես կարող եւ տեղի ունենալ նույն ոկրունքով, ինչպես ընդունված եւ այլ տեսակի շարժիչների մոտ, այն եւ յեռանդակիր խառնուրդի քանակի փոփոխելով։ Այս դեպքում ինարկե կանոնավորումը պետք եւ աղջի թե ողի, թե վառելիքի և թե սրակվող ջրի քանակությունների վրա՝ փոփոխելով նրանց այնպես, վոր պահպանվի պատշաճ հարաբերությունը (պրոպորցիա) նրանց միջև։

Ողաշոգեմեքենան աշխատանքի վստահելիության տեսակետից պահպանում եւ այն բոլոր առավելությունները, վոր ունի շոգեմեքենան, և միաժամանակ ունի նաև այնպիսի առավելություններ, վոր հատուկ են ներքին այրման շարժիչներին։

Ողաշոգեմեքենալի առավել կողմերից կարելի լեւ նշել հետեւալները.—

1. Ընթացքի գցելու համար պահանջում եւ քիչ ժամանակ։

2. Գրավում եւ համեմատաբար փոքր տեղ ողաշոգեկաթսալի հետ միասին։

3. Աշխատանքի մեջ նույնքան վստահելի լեւ և հարմարվող, ինչպես շոգեմեքենան, և թույլ եւ տալիս պտուտաթվի փոփոխում լայն սահմաններում, մի բան, վոր չի կարելի ասել ներքին այրեցման շարժիչների նկատմամբ։

4. Զերմալին գործակիցն ավելի բարձր եւ, քան սովորական բացփուք շոգեմեքենալինը։

5. Մեքենալի ներսում չի տիրում այնպիսի բարձր բարեխառնությունն, վոր դժվարացնի լուղումը և առհասարակ մեքենալի սպասարկումը։ Այս հանգամանքը կարեոր նշանակություն ունի նաև այն տեսակետից, վոր մեքենալի կառուցման համար չի պահանջվում հատուկ մատերիալ, վոր թանգ եւ նստում։

Ենորհիվ վերոհիշյալ հատկությունների՝ ողաշոգեմեքենան շատ հարմար եւ գուրս գալիս տրանսպորտում գործածելու համար, մանավանդ է երկաթուղիների վրա։ Այս ասպարիզում նա, ունենալով ավելի բարձր զերմալին գործակից, կարող եւ առաջ վառելիքի մեծ խնայություն։

Ողաշոգեկաթսալից կարող եւ սնվել, ինչպես ասացինք, նաև ողաշոգետուրբինը, վոր հավանուեն կրանի ավելի բարձր գործակցով։ Այսպիսով վորոշ չափով լուծված կլինի զերմալին տուրբինի պլրույնմը։

Ողաշոգեկաթսան լուր կառուցվածքով և աշխատելու յեղանակով հնարավորություն եւ տալիս իրեւ եներգիալի աղբյուր կիրառելու նաև նոր նյութեր, վորոնք մինչև այժմ այդպիսի նպատակով դեռևս

գործնական կերպություն չունեն. սրանցից ևս հնարավոր կլինի  
պատրաստել աշխատանքալին խառնուրդներ, վորոնք կարող են տալ  
ավելի բարձր եֆեկտ:

Սրանով, կարելի է ասել, բացվում և մի նոր ուղի ջերմալին  
շարժիչների հետագա դարձացման համար:

Д. Г. АКОПДЖАНЯН.

Зав. кафедрой машиновед. и механизации.

## ДВИГАТЕЛИ РАБОТАЮЩИЕ СМЕСЬЮ ВОЗДУХА И ВОДЯНОГО ПАРА.

Вышеназванная рабочая смесь изготавливается в так называемом воздушно-паровом кotle (черт. 1), состоящем из водяного пространства, цилиндрической топки и камеры парообразования. Сжатый воздух для горения подается в топку из компрессора под соответственным давлением.

Газы горения дают часть своей теплоты через стенки топки содержащейся в кotle воде, находящейся под надлежащим давлением, подогревают ее до температуры кипения и уходят в камеру парообразования. В этой последней посредством распылителей впрыскивается в горячие газы горения, в тонко распыленном виде, подогретая в кotle вода, которая прида в соприкосновение с горячими газами, моментально превращается в перегретый пар. Таким образом в камере парообразования получается смесь воздуха (точнее газов горения) и водяного пара. Эта смесь вводится в поршневую машину или турбину и приводит их в движение.

Машины, работающие подобной смесью, автор называет воздушно-паровой машиной и возд.-пар. турбиною.

По расчету экономической к. п. д. воздушно-паровой машины (поршневой) получается равным 0,14, т. е. 14%, а расход тепла на одну лош. силу в час (полезную) равен 4480 кал., следовательно на много благоприятнее, чем у паровой машины работающей без охлаждения.

По мнению автора воздушно-паровой котел с воздушно-паровой машиной могут найти успешное применение на железнодорожных локомотивах и дать значительную экономию топлива, т. к. возд.-пар. машина сохраняет все преимущества обыкновенной паровой машины относительно надежности работы и приспособляемости к условиям тяги, имея притом более высокий тепловой к. п. д., чем паровая машина, работающая на паровозе без охлаждения.

ՊՐԵ. Ա.Է.Բ.ԲՍ.ՆԴՐ ՀՍԿՈԹԱՆ

Ցեսական միխանիկայի ամբիոնի վարիչ

ՆԵՐՔԻՆ ԼԱՐՈՒՄՆԵՐԻ ԲԱՇԽՈՒՄՆ  
ԱՆԸՆԴՀԱՆՈՒՄ ՄԻԶԱՎԱՅՐՈՒՄ



1. Այս աշխատության մեջ նոր արդյունքներ չկան: Նոր և միայն յեղանակը, վորը հենց հարմար յեղանակ լինելով՝ հերքում և այն կարծիքը, թե վեկտորական հաշիվը ոգտակար և մեխանիկայի վոչ բոլոր բաժիններում:

Ահա այդպիսի կարծիքներից մեկը<sup>1)</sup>.

«Նյութերի դիմադրության մեջ մեծ ոգուտ չի ստացվի, յեթե կոռողինատների կամ կոմպոնենտների փոխարեն հաշվումները կատարվին հենց վեկտորներով, — մի բան, վոր մեխանիկայի մնացած մասերում ոգտակար է»:

2. Անընդհատ միջավայրում ներքին լարումների հատկություններն արտածելու համար միշտ ոգտվում են հետեւյալ թերթեցից.

Յերբ սիստեմը գտնվում և հավասարակշռության մեջ, ապա

(I) արտաքին ուժերի գլխավոր վեկտորը հավասար է 0,

(II) այդ ուժերի գլխավոր մոմենտը հավասար է 0:

Սովորաբար (I)-ը կիրառում են ելեմենտար տեսրաեղբային<sup>2), 3), 4)</sup> վորի գագաթներից մեկում 3 զծային անկյուններն ուղղի են, իսկ (II)-ը կիրառում են ելեմենտար ուղղանկյուն պարալելեպիդներին<sup>2),</sup> կամ գնդին<sup>3)</sup> և կամ մի ծավալի, վորը կարող է սահմանափակված մինչև վորնե կամավոր մակերևույթով<sup>4)</sup>:

Վերջի գեպքում հարկ և լինում դիմել ինտեգրալ հաշվի բանաձևերին և մակերևույթային ինտեգրալները ձևափոխել ծավալային ինտեգրալների:

Բոլոր այս արտածումները միանգամայն անառակելի յեն մաթեմատիկական ճշության տեսակետից: Բայց բնականարար հարց

1) Föppl, Vorlesungen über technische Mechanik Bd. III, zehnte Auflage, Leipzig—Berlin, 1921. «In der Festigkeitslehre wird nicht viel damit gewonnen, wenn man an stelle von koordinaten oder komponenten mit den gerichteten Grössen selbst rechnet, was in den meisten übrigen Teilen der Mechanik von Vorteil ist.»

2) Որինակ՝ E. Sarrau, Notions sur la théorie de l'élasticité, Paris, G.—Villars, 1899, յեր. 8—11:

3) P./Painlevé et Ch. Plafrier, Cours de Mécanique, Paris, G.—Villars, 1929, յեր. 187:

4) Որինակ՝ M. Lagally Vorlesungen über Vector-Rechnung, Leipzig, 1928, յեր. 255—256:

և ծագում, թե ի՞նչն ե ստիպում, վոր բացի տեսրաեղբից դիտարկվի նաև պարալելիվելը, կամ գունդը և կամ վորեւ ծավալ՝ սահմանափակված մի կամավոր մակերևույթով:

Այս հարցն ե ակնարկում ֆյոպպլը<sup>1)</sup> ասելով, թե դատողությունների սահմանափակումը միայն տեսրաեղբից դիտարկությամբ՝ դժվարություններ առաջ կը բերի:

Այս զեկուցման նպատակն ե ցույց տալ, թե վորքան հեշտ կերպով են վորոշվում ներքին լարումների հատկությունները միմիայն մի կամավոր ելեմենտար տեսրաեղբից դիտարկությամբ, յեթե պատշաճ կերպով կիրառվում ե վեկտորական ալգեբրան: Հարեւանցիորեն հիշված ե այստեղ մի ինվարիանտ առնչության մասին, վորին ուրիշ տեղ չեմ պատահել:

3. Նշանակումներ: Վեկտորները նշանակվում են մեկ կամ յերկու տառով, վորոնց վրա դրված են գծիկներ. որինակ՝  $\bar{a}$ ,  $\overline{OC}$ —վեկտորները են, վորոնց չափերն են  $a$ ,  $OC \cdot a \cdot \bar{b}$  և  $\bar{a} \times \bar{b}$  ցույց են տալիս  $a$ ,  $\bar{b}$  վեկտորների սկալար և վեկտորական արտադրյաները.

$a \cdot b \times c \equiv a \cdot \bar{b} \cdot c$  նշանակում ե  $\bar{a}, \bar{b}, c$  վեկտորների խառն արտադրյալը. ինչպես հայտնի է:

$$\bar{a} \cdot \bar{b} \cdot \bar{c} = \bar{b} \cdot \bar{c} \cdot \bar{a} = \bar{c} \cdot \bar{a} \cdot \bar{b} \quad . \quad . \quad . \quad . \quad (1)$$

4. Վորպեսզի հետազայում դատողության ընթացքը չընդհատվի և թերություններ չստացվեն, մեզ հարկավոր ե ապացուցել մի լեմմա այն մասին, վոր ելեմենտար լարումները կարելի յե վերածել մի համագորի [§ 5]: Պետք ե նաև արտածել մի փորմուլ, վորով վորոշվում են կամավոր տեսրաեղբից յերեք կողմերի մակերեսները չ'ըրորդ կողմի մակերեսի միջոցով:

Թող  $O$ ,  $A_1$ ,  $A_2$ ,  $A_3$ -ը լինեն մի կամավոր տեսրաեղբի գագաթները:

Ընդունենք  $\overline{OA_k} = \bar{r}_k$  և նշանակենք  $S_{k-\text{ով}}$  այն կողմը, վորը գտնվում ե  $A_k$ -ի գիմաց: Թող  $\pi_k$ -ն լինի մի միավոր վեկտոր, վոր ուղղահայաց ե  $S_{k-\text{ին}}$ . թող  $\sigma_k$ -ն լինի  $S_k$ -ի վեկտորական մակերեսը:  $S$ ,  $\sigma$ ,  $\pi$ -ով նշանակվում ե համապատասխանաբար այն կողմը, վոր գտնվում ե  $O$ -ի գիմաց, նրա վեկտորային մակերեսը և  $S_k$ -ին ուղղահայաց միավոր վեկտորը:

1) Föppl, loc. cit., յեր. 15 «...Man kann diese Bedingungen für das Tetraeder ableiten, indem man Momentengleichungen anschreibt. Wir wollen aber dazu einen bequemeren Weg wählen, indem wir an Stelle des Tetraeders ein unenidlich kleines Parallelepiped betrachten».

$$2\bar{\sigma}_k = \bar{r}_l \times \bar{r}_m = 2\bar{n}_k \sigma_k, \quad \left. \begin{array}{c} \\ \\ \\ \end{array} \right\} \quad klm=123, 231, 312 \quad \left. \begin{array}{c} \\ \\ \\ \end{array} \right\} \quad (2)$$

Յուրաքանչյուր փակ բազմանիստի բոլոր նիստերի վեկտորային մակերեսների գումարը հավասար է 0-ի:  
Հետևաբար

$$\bar{n}_1 \sigma_1 + \bar{n}_2 \sigma_2 + \bar{n}_3 \sigma_3 + \bar{n} \sigma = 0 \quad \dots \quad (3)$$

Վերցնենք  $\bar{N}_1, \bar{N}_2, \bar{N}_3$  վեկտորների մի նոր յեռակ, վոր փոխարժարձ և  $n_1, n_2, n_3$  յեռակին: Համաձայն փոխադարձ սիստեմների սահմանման<sup>1)</sup>, ունենք

$$\bar{N}_k = \frac{\bar{r}_l \times \bar{r}_m}{n_k n_l n_m}, \quad klm=123, 231, 312: \quad \dots \quad (4)$$

$$\bar{N}_k \cdot \bar{n}_k = 1, \quad \bar{N}_k \cdot \bar{n}_l = \bar{N}_k \bar{n}_m = 0 \quad \dots \quad (5)$$

(4)-ի մեջ  $\bar{n}_l$  և  $\bar{n}_m$ -ի փոխարեն դնենք նրանց արտահայտությունները  
(2)-ից. կստանանք

$$\bar{N}_k = \frac{2\bar{r}_k \sigma_k}{v}, \quad \dots \quad (6)$$

Վորտեղ  $v = \bar{r}_k \bar{r}_l \bar{r}_m g_{01} g_{02}$  և տալիս ծավալն այն պարագելեալիպեղի,  
վորը կառուցված և  $r_1, r_2, r_3$  կողերի վրա:

Սկալարը բազմապատկելով (3)-ը  $\bar{N}_k \cdot \bar{n}_l$  և նկատի առնելով  
(5), ստանում ենք հետևյալ փորձութը՝

$$\sigma_k = -\sigma_l \cdot \bar{N}_k \quad k=1, 2, 3, \quad \dots \quad (7)$$

Վորն արտահայտում է օրեն օ-ի միջոցով:

5. Ուսումնասիրենք անընդհատ միջավայրում տարած. Π հարթության վրա գտնվող հարկան կետերի լարումները: Սրա համար վերցնենք  $\Pi$ -ի շատ փոքր  $P$  մասը, վորն ունի ո մակերեսը:  $\Phi_{\Pi P}$   $C$  և  $A$  համապատասխանորեն լինեն  $P$ -ի իներցիայի կենտրոնը և մի վորեւ կետը, իսկ  $T_c$  և  $\bar{T}$ —լարումներն այդ կետերում.  $\bar{C}\bar{A}=r$ .

Ըստունելով, վոր լարումը կետի անընդհատ ֆունկցիա  $j$ ,  $\bar{T} = \bar{f}(r)$ , կարող ենք  $T$  վերածել շարքի, և վորովհետև  $P$ -ի գծային չափերը շատ փոքր են, այդ շարքից կպահենք միայն յերկու անդամ. այսպիսով կստանանք՝

$$\bar{T} = \bar{T}_c + \psi_r, \quad \dots \quad (8)$$

1) Որինակ M. Lagally l. c., յեր. 37.

վորտեղ կուլ ըստ գծային վեկտորական ֆունկցիա լե. (8)-ից հետեւ վում ե, վոր Պ-ի ձակերեսի ձաւ էլեմենտի վրա ազդող ուժը կլինի՝

$$\bar{T}d\omega = \bar{T}_c d\omega + \psi \bar{r} d\omega \cdot \cdot \cdot \cdot \cdot \cdot \quad (8')$$

Այժմ հեշտ ե ապացուցել հետևյալ լեմման. —

(9) վորեւ շատ փոքր մակերեսի վրա ազդող  $\bar{T}d\omega$  ուժերի սխալ տեմը կարելի յե ըերել  $\bar{T}_c \omega$  համազորի, վորի կիրառման կետն իներցիայի  $C$  կենարուն ե:

Իսկապես այս ուժերի գլխավոր մոմենտը  $C$ -ի նկատմամբ և նրանց գլխավոր վեկտորը կլինեն՝

$$\bar{M}_c = \int \bar{r} \times \bar{T} d\omega, \quad \bar{F} = \int \bar{T} d\omega$$

Կամ ըստ (8')-ի

$$\bar{M}_c = (\int \bar{r} d\omega) \times \bar{T}_c + \int \bar{r} \times (\psi \bar{r}) d\omega$$

$$\bar{F} = \int \bar{T}_c d\omega + \psi (\int \bar{r} d\omega),$$

Հստ իներցիայի կենարունի հատկության ըրդալը  $= O$ , հետևաբար

$$\begin{aligned} \bar{M}_c &= \int \bar{r} \times (\psi \bar{r}) d\omega \\ \bar{F} &= \bar{T}_c \omega \end{aligned} \quad \left. \right\} \cdot \cdot \cdot \cdot \cdot \cdot \quad (10)$$

(10)-ից հետեւմ ե, վոր լեռե ըստ առաջին կարգի անվերջ փոքր մեծություն ե,  $\bar{M}_c$ -ն 4-րդ կարգի անվերջ փոքրեց ավելի ցածր չենի: Մինչդեռ հանրածանոթ փորմուլը<sup>1)</sup>

$$\bar{M}_A - \bar{M}_c = \bar{AC} \times \bar{F} = -\bar{r} \times \bar{T} = -\bar{r} \times \bar{T}_c \omega,$$

ցույց ե տալիս, վոր  $\bar{T} d\omega$  ուժերի գլխավոր մոմենտը  $P$  մասի վորեւ Ա կետի նկատմամբ 3-րդ կարգի փոքրությունից ավելի ցածր չե:

Այս պատճառով մենք իրավունք ունենք, արհամարհելով 4-րդ կարգի մեծությունները, ընդունել  $\bar{M}_c = O$ . իսկ այդ նշանակում ե, վոր  $\bar{T} d\omega$  ուժերը բերվում են  $\bar{T} d\omega$  համազորի, վորն ազդում ե  $P$  մասի իներցիայի կենարունում:

6. Անցնելով ներքին լարումների հատկությունների վորոշման յերեակայենք, թե անընդհատ միջավայրում վերցրել ենք մի կամափոր աեւրածեր՝  $O A_1 A_2 A_3$ , վորի կողերը ներկայացնում են առաջին կարգի անվերջ փոքր մեծություններ:

$T_k$ ,  $\bar{T}$  թող լինեն լարումները  $S_k$ ,  $S$  նիստերի  $C_k$ ,  $C$  իներցիայի

1) Ռելինակ՝ G. Bouligand, Précis de Mécanique rationnelle, Paris Vuibert, 1925, I, յեր. 5.

Ցկենտրոններում, կ || 1, 2, 3: Համաձայն (9) լեմմայի՝ այս նիստերի վրա ազդող մակերևութային ուժերի սիստեմը բերվում է  $\bar{T}_k\sigma_k$ ,  $\bar{T}\sigma$  համագորների, վորոնք համապատասխանաբար կիրառված են  $C_k$ ,  $C$  կետերում:

Վորովհետեւ տետրաեղբի ծավալը ներկայացնում է Յ-րդ կարգի մեծություն, ապա տետրաեղբի վրա ազդող ծավալային ուժերի գլխավոր վեկտորը կներկայացնի Յ-րդ կարգի մեծությունից վոչ ցածր մի մեծություն: Այդ պատճառով ել նա կարող ե անտես առնվել՝ համեմատած Յ-րդ կարգի մեծությունների հետ, ինչպես են  $\bar{T}_k\sigma_k$ ,  $\bar{T}\sigma$ :

Ցենտրադրելով, վոր տետրաեղբը հավասարակշռության մեջ ե, և կիրառելով (I)՝ կստանանք

$$\bar{T}_1\sigma_1 + \bar{T}_2\sigma_2 + \bar{T}_3\sigma_3 + \bar{T}\sigma = 0:$$

Տեղադրելով  $\sigma_k$ -ի փոխարեն նրա նշանակությունը (7)-ից և կը բառականական այլ տեսանում ենք, վոր

$$\bar{T} = \bar{n} \cdot \sum \bar{N}_k \bar{T}_k, \quad k=1, 2, 3: \quad \dots \quad (11)$$

$\sum \bar{N}_k \bar{T}_k$  գիրադը ծառական այն ժամանակ

$$\bar{P} = \bar{n} \cdot \delta: \quad \dots \quad (12)$$

7. Վորակեալի (II)-ն ավելի հարմար կերպով կիրառվի տետրադրերին, իբրև մոմենտների կենտրոն ընդունենք նրա  $O$  կա, դա  $\rho = \frac{\bar{r}_1 + \bar{r}_2 + \bar{r}_3}{3} \equiv C$

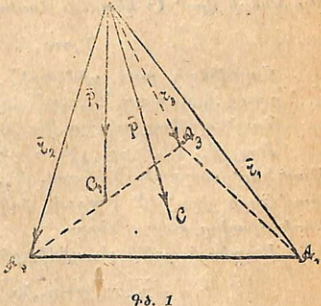
$$\begin{aligned} \bar{o}_k &= \frac{\bar{r}_1 + \bar{r}_m}{2}, \quad klm = \\ &\quad 123, 231, 312 \end{aligned} \quad \dots \quad (13)$$

$$\bar{\rho} = \frac{\bar{r}_1 + \bar{r}_2 + \bar{r}_3}{3}$$

Վորովհետեւ մակերեսային ուժերը, վորոնք ազդում են  $S_k$ ,  $S$  նիստերի վրա, բերվում են ըստ (9)-ի  $\bar{T}_k\sigma_k$ ,  $\bar{T}\sigma$  համագորների, վորոնք կիրառված են  $C_k$ ,  $C$  կետերում, ուստի այդ ուժերի գլխավոր մոմենտը  $O$ -ի նկատմամբ կինդի

$$\bar{M}_0 = \bar{\rho}_1 \times \bar{T}_1\sigma_1 + \bar{\rho}_2 \times \bar{T}_2\sigma_2 + \bar{\rho}_3 \times \bar{T}_3\sigma_3 + \bar{\rho} \times \bar{T}\sigma \quad \dots \quad (14)$$

Ինչպես տեսնում ենք, այս մոմենտը Յ-րդ կարգի փոքր մեծություն ե. իսկ ծավալային ուժերի գլխավոր մոմենտը մեծ մա-



Գծ. 1

սամբ ավելի ըարձը կարգի յեւ: Յերբ այս տեղի յեւ ունենում, ապա  
(II)-ը կտա  $\bar{M}_0 = 0$ :

Տեղադրելով այս հավասարության մեջ՝  $\bar{\rho}$ -ի փոխարեն նրանց  
արտահայտությունները (13)՝կտանանք

$$\bar{r}_1 \times \bar{T}_1 \sigma_1 + \bar{r}_2 \times \bar{T}_2 \sigma_2 + \bar{r}_3 \times \bar{T}_3 \sigma_3 = 0,$$

կամ թե (6)-ի հիման վրա՝

$$\bar{N}_1 \times \bar{T}_1 + \bar{N}_2 \times \bar{T}_2 + \bar{N}_3 \times \bar{T}_3 = 0: \quad \dots \quad (15)$$

(15)-ը ցույց եւ տալիս, վոր ծ դիագը սիմետրիկ եւ):

Այս դիագի սիմետրիկ լինելը հաստատելու համար եւ, վոր դիա-  
տարկության են առնում սովորաբար պարակելեալիպեղի հավասարա-  
կշռությունը, կամ գնդինը և այլն: Վերը բերած արտածումը համո-  
զում ե մեզ, վոր այդ միջոցին դիմելու վոչ մի կարեք չկա:

8. Ներքին լարումների հատկություններից մի քանիսը ծ դիագի  
ինվարիանտների արտահայտություններն են:

Այս հատկություններից ամենաեյականները — այն եւ՝ գլխավոր  
ուղղությունների գոյությունը և Cauchy-ի թեորեմը — անմիջականու-  
թեն բղխում են սիմետրիկ դիագների սահմանումից:  $n_1$  և  $n_2$  թող  
լինեն  $\bigcirc$  կետով անցկացրած  $P_1$  և  $P_2$  հարթությունների նորմալների  
միավոր վեկտորները:  $\bar{T}_1$  և  $\bar{T}_2$  թող լինեն լարումներն այդ հարթու-  
թյունների վրա՝  $\bigcirc$  կետում: Համաձայն (12)-ի

$$\bar{T}_1 = \bar{n}_1, \delta, \quad \bar{T}_2 = \bar{n}_2, \delta$$

$\bar{n}_1, \delta, \bar{n}_2 = \bar{n}_2, \delta, \bar{n}_1$ , ապա  $\bar{T}_1, \bar{n}_2 = \bar{T}_2, \bar{n}_1$ , հենց այս եւ Cauchy-ի թեորեմը՝  
նույն սիմետրիականությունից բղխում ե մի թեորեմ և:

Թող  $P_1$ ,  $P_2$ ,  $P_3$ -ը լինեն  $\mathcal{J}_k$  իրար ուղղահայց հարթու-  
թյուններ՝ տարված  $\bigcirc$  կետով.  $\bar{T}_1$ ,  $\bar{T}_2$ ,  $\bar{T}_3$  — լարումներն այդ հարթու-  
թյունների վրա՝  $\bigcirc$  կետում, իսկ  $n_1$ ,  $n_2$ ,  $n_3$  —  $P_1$ ,  $P_2$ ,  $P_3$ -ի նորմալ-  
ների միավոր վեկտորները:

Խնչպես հայտնի է, սիմետրիկ դիագներում կլինի:

$$n_1, \delta \bar{n}_1 \times + \bar{n}_2, \delta \bar{n}_2 \times + \bar{n}_3, \delta \bar{n}_3 \times = 0 \quad \dots \quad (16)$$

Բայց էերբ  $\bar{n}_k, \delta = \bar{T}_k$ , ապա  $\bar{n}_k, \delta \times \bar{n}_k = \bar{T}_k \times \bar{n}_k$ . ուստի (16)-ը կտա-

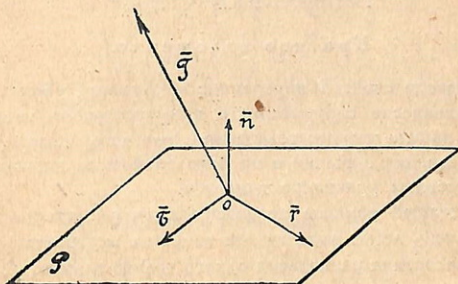
$$\bar{T}_1 \times \bar{n}_1 + \bar{T}_2 \times \bar{n}_2 + \bar{T}_3 \times \bar{n}_3 = 0 \quad \dots \quad (16')$$

Վորպեսզի պարզվի (16')-ի նշանակությունը, լարումներից լու-

բարանչյուրը վերածենք նորմալ և տանգենցիալ (T) բաղադրչների, կստանանք

$$\bar{T}_k \times \bar{n}_k = \bar{T} \times n_k \equiv \bar{\Gamma}_k,$$

ընդ վորում  $\bar{T}_k \times \bar{n}_k$ —տանգենցիալ լարումն է, դարձված  $P_k$  հարթության վրա  $90^\circ$ -ով (ըստ ձևի ձեռքի կանոնի),



Գ. 2

$$\text{Այսպիսով } (16')\text{-ը տալիս է} \\ \Gamma_1 + \Gamma_2 + \Gamma_3 = 0, \quad \dots \quad \dots \quad \dots \quad \dots \quad \dots \quad (17)$$

Այստեղից հետևում է ամենից առաջ, վոր  $\Gamma_1, \Gamma_2, \Gamma_3$  կոպլանար ևն:  
 $(17)$ -ի մի ուրիշ հետևողությունն ել այն է, վոր վորևէ զույգ  
ուղղահայաց հարթությունների համար,  $(P_1, P_2), (P_1', P_2')$ , վորոնք  
ունեն ընդհանուր հատման գիծ (OL), միշտ  $\Gamma_1 + \Gamma_2 = \text{const.}$  Խսկապիս  
ըստ  $(17)$ -ի  $P_1, P_2, P_3$  իրար ուղղահայաց հարթությունների համար  
ունենք  $\Gamma_1 + \Gamma_2 + \Gamma_3 = 0$ , խսկ  $P_1', P_2', P_3$  իրար ուղղահայաց հարթությունների համար՝  $\Gamma_1' + \Gamma_2' + \Gamma_3' = 0$ :  
 Իրար հետ համեմատելով՝ կստանանք

$$\Gamma_1' + \Gamma_2' = \Gamma_1 + \Gamma_2 = -\Gamma_3 = \text{const.}$$

Վերջապես  $(17)$ -ից կարելի յե դուրս բերել մի հետեւանք և,  
վոր բղխում և նույնպես Cauchy-ի թեորեմից՝  
Յեթե  $O$  կետով անցնող իրեք իրար ուղղահայաց հարթություններից մեկը վլսավորն է, ապա մյուս յերկու հարթությունների վրա  
լարումներն  $O$  կետում նրան զուգահեռ են: Այս գեկուցման նպատակը չը չե տալ ստացված  $(12)$  և  $(16')$  բանաձեռքի բոլոր կիրառումները:

Проф. АЛ-ДР АКОПЯН  
Зав. кафедрой теорет. механики

“О РАСПРЕДЕЛЕНИИ ВНУТРЕННИХ НАПРЯЖЕНИЙ В  
НЕПРЕРЫВНОЙ СРЕДЕ”

Краткое изложение.

При выводе свойств внутренних напряжений обычно рассматривают равновесие элементарного прямоугольного тетраэдра и еще какого нибудь второго тела (прямоугольного параллелепипеда, шара или тела, ограниченного произвольной поверхностью), к которому применяют уравнение моментов.

В настоящей заметке показывается, что векторная алгебра позволяет очень легко вывести все свойства внутренних напряжений из рассмотрения равновесия одного только элементарного произвольного тетраэдра.

---

Ի՞նձ ՀՅԱՂՈՅ ԽՍԴ. ՓՈՒԽՎԱԽՅԱՅՈՒՆ

ՑԵՄԵՆՏԻ ԿԾԿՈՒՄԸ ԶԵՐՄԱՍԻՑԱՆԻ  
ՑԵՎ  
ԽՈՆԱՎՈՒԹՅԱՆ ՆԵՐՔՈ



Յեմենտների կծկումը\*) դասվում է այն յերեսություների շարքը, վորոնք աննպաստ ազգեցություն են թողնում բետոնային կառուցվածքների նորմալ աշխատանքի վրա: Այս պատճառով միանգամայն հասկանալի չե, թե ինչու, մանավանդ վերջին ժամանակներս, մեծ ուշադրությամբ ուսումնասիրվում ե այդ յերեսությը:

Կծկման յերեսությը, չնայած մի շարք ընդարձակ աշխատությունների (պրոֆ. Gary, Otto Graff, Ռու և ուրիշները), շնորհիվ նրա բարդության, գեռես լրիվ ուսումնասիրված չե:

Յեմենտների կծկման վրա ազդում են մի շարք ֆակտորներ՝ նպատակահարմար և այդ ֆակտորները բաժանել յերկու խմբի:

1. Ներքին կարգի ֆակտորներ, վորոնք պայմանավորված են նմուշի բաղարությամբ և նրա պատրաստման յեղանակով (կապակցող նմուշեր, և այսու նմուշեր, այլ խառնուրդներ, ջրի քանակությունը, բետոնի խտությունը և այլն):

2. Արտաքին ֆակտորներ, վորոնք պայմանավորված են շրջապատող միջավայրի վիճակով (ջերմաստիճան, խոնավություն):

Մեր հետազոտության նպատակն եր՝ ա) տեղական պորտանդ ցեմենտների և պուցոլանային պորտալանդ ցեմենտի նմուշների կծկման համեմատական ուսումնասիրությունը, բ) ցեմենտի նմուշների կծկման վրա յերկու ֆակտորների՝ ջրապարունակության և ջերմաստիճանի միատեղ ազդեցությունը:

Ուսումնասիրության և յենթարկվել ցեմենտի յերեք տեսակ՝

1. Կասպիի գործարանի պորտլանդ ցեմենտը (Վրաստան), վորեր հատկություններով մոտիկ և «00» մարկացին:

2. Դավալուի գործարանի 1933 թվի նոլեմբերին արտադրած պորտլանդ ցեմենտը, վորը գեռես վորոշակի մարկա չուներ:

3. Պուցոլանային ցեմենտ՝ պատրաստված Դավալուի ցեմենտի և Անու պեմզայի մանրունքի հավասար քանակությունների խառնուրդից:

Ցուրաքանչյուր ցեմենտից պատրաստված են յեղել 10 սանտիմետր յերկարության և  $2,25 \times 2,25$  սմ<sup>2</sup> կտրվածքով պրիզմական նմուշներ, վորոնց գծային գեֆոմացիան չափվել և Բառւշինգերի գործիքի միջոցով 0,005 մմ ճշտությամբ:

\*) Կծկում—սաճակ.

Աղջուռակ կե յ թ 1

ԶԵՐ ՊՐՈՎ ԱՐԱԽԱԾ ՆԱԽԱԳԻ ցԱՄԱԳԻ ՇԱԽԱԾԻ ՇԱԽԱԾԻ ԿՃԼՈՒՄԻ՝ %-ՑԻՐԿԱՆԻ.

ԽԱՌԱԾ ՀԱՅԱՀԱՅ ՀԱՅԱՀԱՅ	ԺԱՎԱՐԱԿԱ		7		1		2		3		4		5		6		7		9		10		11		12		13	
	ԱՐ	ԱՐ	ԱՐ	ԱՐ	ԱՐ	ԱՐ	ԱՐ	ԱՐ	ԱՐ	ԱՐ	ԱՐ	ԱՐ	ԱՐ	ԱՐ	ԱՐ	ԱՐ	ԱՐ	ԱՐ	ԱՐ	ԱՐ	ԱՐ	ԱՐ	ԱՐ	ԱՐ	ԱՐ	ԱՐ	ԱՐ	
ԵՐԵՐԱՎԱԼ ՀԱՅԱՀԱՅ	1	-0,124	-0,299	-0,386	-0,424	-0,475	-0,510	-0,545	-0,562	-0,617	-0,610	-0,608	-0,600	-0,600	-0,600	-0,600	-0,600	-0,600	-0,600	-0,600	-0,600	-0,600	-0,600	-0,600	-0,600	-0,600		
	2	-0,146	-0,287	-0,358	-0,400	-0,435	-0,468	-0,510	-0,530	-0,600	-0,600	-0,600	-0,600	-0,600	-0,600	-0,600	-0,600	-0,600	-0,600	-0,600	-0,600	-0,600	-0,600	-0,600	-0,600	-0,600		
30%	3	-0,152	-0,281	-0,349	-0,375	-0,410	-0,450	-0,483	-0,518	-0,567	-0,567	-0,555	-0,550	-0,550	-0,550	-0,550	-0,550	-0,550	-0,550	-0,538	-0,538	-0,538	-0,538	-0,538	-0,538	-0,538	-0,538	
30%	4	-0,160	-0,287	-0,343	-0,375	-0,414	-0,463	-0,497	-0,497	-0,497	-0,497	-0,496	-0,496	-0,496	-0,496	-0,496	-0,496	-0,496	-0,496	-0,513	-0,513	-0,513	-0,513	-0,513	-0,513	-0,513	-0,513	

Աղջուռակ կե յ թ 2

ԶԵՐԱՄ ԱՐԱԽԱԾ ՆԱԽԱԳԻ ցԱՄԱԳԻ ՇԱԽԱԾԻ ՇԱԽԱԾԻ ԿՃԼՈՒՄԻ՝ %-ՑԻՐԿԱՆԻ

ԽԱՌԱԾ ՀԱՅԱՀԱՅ ՀԱՅԱՀԱՅ	ԺԱՎԱՐԱԿԱ		7		1		2		3		4		5		6		9		10		11		13		15		
	ԱՐ	ԱՐ	ԱՐ	ԱՐ	ԱՐ	ԱՐ	ԱՐ	ԱՐ	ԱՐ	ԱՐ	ԱՐ	ԱՐ	ԱՐ	ԱՐ	ԱՐ	ԱՐ	ԱՐ	ԱՐ	ԱՐ	ԱՐ	ԱՐ	ԱՐ	ԱՐ	ԱՐ	ԱՐ	ԱՐ	
ԵՐԵՐԱՎԱԼ ՀԱՅԱՀԱՅ	5	+0,018	+0,056	+0,055	0,068	0,079	0,094	0,096	0,122	0,129	0,138	0,162	0,178														
	6	0,018	0,057	0,072	0,039	0,081	0,083	0,090	0,117	0,124	0,125	0,152	0,160														
30%	7	0,006	0,009	0,031	0,028	0,042	0,051	0,051	0,086	0,095	0,104	0,120	0,120														

Աղյուսակ 3

Զարդարմ պահպաժ Պակալուի ցիւմենի նմանօժիրի կծկում՝ % մերու

<i>Խոսլ.</i>	<i>Ժողով</i>	<i>Ժամանակ</i>	<i>7 որ</i>	<i>1 ամ.</i>	<i>2 ամ.</i>	<i>3 ամ.</i>	<i>4 ամ.</i>	<i>5 ամ.</i>	<i>6 ամ.</i>	<i>7 ամ.</i>	<i>8 ամ.</i>	<i>9 ամ.</i>	<i>10 ամ.</i>
<i>Համակառնություն</i>	<i>Համակառնություն</i>	<i>Համակառնություն</i>	1'	-0,112	-0,178	-0,203	-0,213	-0,216	-0,200	-0,183	-0,176	-0,138	-0,142
<i>Համակառնություն</i>	<i>Համակառնություն</i>	<i>Համակառնություն</i>	2'	-0,119	-0,193	-0,231	-0,248	-0,249	-0,243	-0,232	-0,233	-0,215	-0,223
<i>Համակառնություն</i>	<i>Համակառնություն</i>	<i>Համակառնություն</i>	3'	-0,132	-0,203	-0,232	-0,232	-0,266	-0,254	-0,248	-0,251	-0,226	-0,230

Աղյուսակ 4

Զբարժ պահպաժ Պակալուի ցիւմենի նմանօժիրի կծկում՝ % մերու

<i>Խոսլ.</i>	<i>Ժողով</i>	<i>Ժամանակ</i>	<i>7 որ</i>	<i>1 ամ.</i>	<i>2 ամ.</i>	<i>3 ամ.</i>	<i>4 ամ.</i>	<i>5 ամ.</i>	<i>6 ամ.</i>	<i>7 ամ.</i>	<i>8 ամ.</i>	<i>9 ամ.</i>	<i>10 ամ.</i>
<i>Համակառնություն</i>	<i>Համակառնություն</i>	<i>Համակառնություն</i>	4'	0,064	0,107	0,119	0,142	—	0,156	0,191	0,200	0,209	0,206
<i>Համակառնություն</i>	<i>Համակառնություն</i>	<i>Համակառնություն</i>	5'	0,048	0,090	0,120	0,118	—	0,172	0,178	0,190	0,194	0,200
<i>Համակառնություն</i>	<i>Համակառնություն</i>	<i>Համակառնություն</i>	6'	0,050	0,091	0,119	0,126	—	0,169	0,170	0,188	0,190	0,192
<i>Համակառնություն</i>	<i>Համակառնություն</i>	<i>Համակառնություն</i>	7'	0,035	0,086	0,120	0,126	0,155	—	0,161	0,205	0,225	0,251
<i>Համակառնություն</i>	<i>Համակառնություն</i>	<i>Համակառնություն</i>	8'	0,027	0,061	0,090	0,098	0,112	—	0,160	0,184	0,188	0,198
<i>300/0</i>													

Աղյուսակ կ Հ 5

Չոր ողոմ՝ պահված պրցոլանային ցիւմենի հնաւելիքի կծկումը՝ կծկումը՝ 0% միջակ.

$d_{\text{ամառ}}$	7 որ.	1 ամ.	2 ամ.	4 ամ.	5 ամ.	6 ամ.	7 ամ.	8 ամ.
1''	-0,153	-0,274	-0,290	-0,307	-0,302	-0,304	-0,290	-0,292
2''	-0,157	-0,286	-0,288	-0,316	-0,315	-0,310	-0,302	-0,304
3''	-0,181	-0,282	-0,290	-0,304	-0,301	-0,299	-0,294	-0,298

Աղյուսակ կ Հ 6

Զրոյի պահված պրցոլանային ցիւմենի հնաւելիքի կծկումը՝ կծկումը՝ 0% միջակ.

$d_{\text{ամառ}}$	7 որ.	1 ամ.	3 ամ.	4 ամ.	5 ամ.	6 ամ.	8 ամ.	10 ամ.
4''	0,002	0,003	0,026	0,032	0,033	0,150	0,052	0,050
5''	0,003	0,008	0,017	0,026	0,029	0,038	0,038	0,030
6''	0,002	0,017	0,031	0,034	0,052	0,050	0,056	0,057

Նմուշները պատրաստված են յեղել նորմալ խտություն ունեացող ցեմենտի շաղախից և ջրի այլ խառնուրդ ունեցող շաղախից ու պահպել են տարբեր պայմաններում, այն եւ

1. սենյակի բաց ողում,

2. ջրի մեջ խորասուզված (պատրաստվելուց յերեք որ հետո),

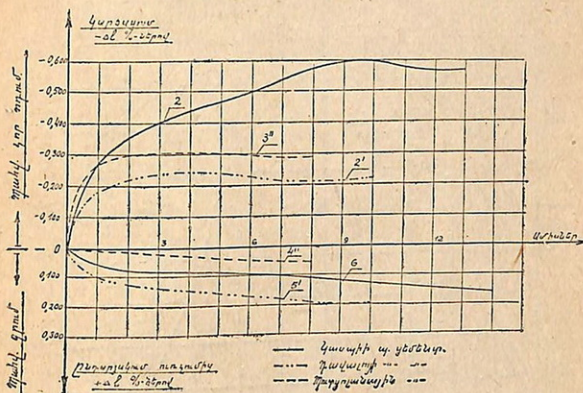
3. ծճմբական թթու պարունակող եքսիկատորում:

Եքսիկատորում պահելու նպատակն եր՝ արագացնել նմուշները չորացնելու ընթացքը:

15 ամսվա ընթացքում իմ կողմից վորոշված նմուշների կծկման արդյունքները բերված են 1—6 աղյուսակներում, վորոնց հիման վրա կառուցված են կորերը:

Ստացված արդյունքներից կարելի է յեղբակացնել.

1. Չոր ոդում պահված յերեք տիպի ցեմենտներից առավելագույն կծկման և յենթարկվել կասպիի ցեմենտը, տալով  $0,61^{\circ}/_0$  կծկում, ապա պուցոլանային ցեմենտը՝  $0,31^{\circ}/_0$  կծկում, և վերջապես ֆավալուի ցեմենտը՝  $0,24^{\circ}/_0$  կծկում:



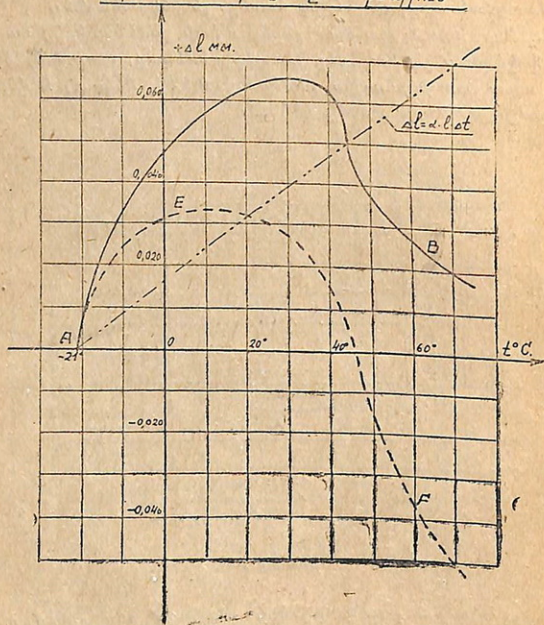
Գծագիր 1.

2. Պուցոլանային խառնուրդների գեպքում չոր ոդում պահված նմուշի կծկումը, մաքուր ցեմենտի կծկման հետ համեմատած, տակած ե 25—30% ավելացում:

3. Կծկման մեծությունը մեծ չափով կախված է միջավայրի ջերմաստիճանից, վորը պարզ յերկում ե № 1 գծագրում, ուր ձմեռը պատրաստված նմուշների կծկման արագ աճման ժամանակը յեղել ե յերեք ամիս (նմուշ 2), մինչդեռ գարնանը և ամուսնը պատրաստված նմուշների (ֆավալուի և պուցոլանային պ. ցեմենտներից պատրաստված նմուշները № 2 և 3') կծկման արագ աճման ժամանակը յեղել ե մեկ ամիս: Այս տատանումների պատճառը յեղել ե սենյակի ջերմաս-

Ճանել մեծ փոփոխությունը՝ ձմեռը  $+7^{\circ}\text{C}$  մինչև  $+14^{\circ}\text{C}$ , իսկ ամառը  $+20^{\circ}\text{C}$  մինչև  $35^{\circ}\text{C}$ :

Նմուշ ա-ի ջասարիի ցնմուշով յօրկարության փոփոխությունը  
ողում տաքացնելու դեպքում



Գծագիր 2

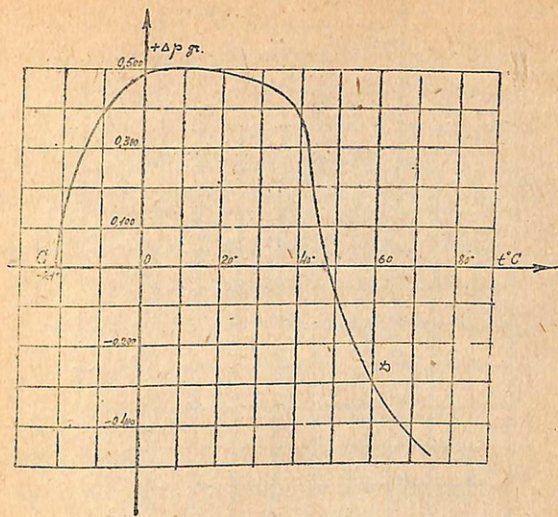
4. Ջրում պահված նմուշները լենթարկվել են անընդհատ՝ յերկարացման, ըստ վորում տարբեր ցնմուշների յերկարացումը յեղել ե-

կասապիի պորտալանդ ցեմենտ  $0,17\%$  ( $\text{միջին}$ )

Պուցոլանային » »  $0,05\%$  »

Դավալութի » »  $0,20\%$  »

Սրանից հետևում է, վոր պուցոլանային խառնուրդներն զգալիորեն փոքրացնում են ջրում պահված ցեմենտի նմուշի ուռչումը:



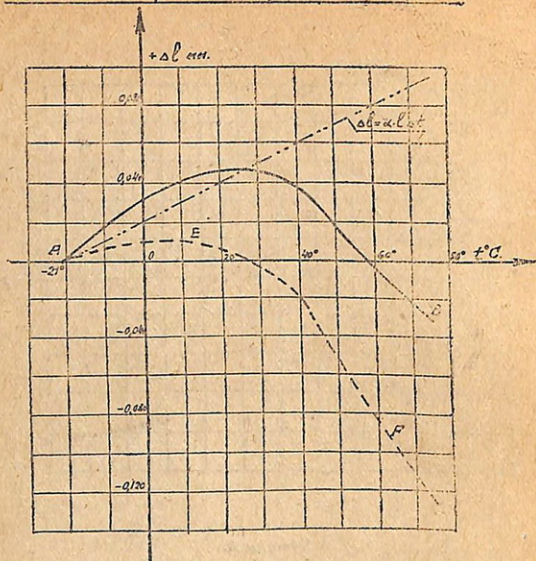
Գծագիր 3.

5. Ողում պահված նմուշների կծկման կորն ունի շատ թույլ արագացոված մաքսիմում, վորը կարելի յեւ բացարել նմուշում պարունակվող ջրի քանակության տատանումով—ընջապատի ջերմաստիճանի փոփոխման հետ կապված:

Այս բացարությունը հիմնավորելու համար կատարված են հետևյալ փորձերը:

Զոր ողում պահված ցեմենտի նմուշները յենթարկվել են ջերմաստիճանի փոփոխման ( $-21^{\circ}\text{C}$  մինչև  $+75^{\circ}\text{C}$ ) այնպես, վոր ողի մուտքը թերմոստատում միանդամայն ազատ ե յեղել: Յուրաքանչյուր նմուշը վեց ժամ տևողությամբ պահվել ե միենույն ջերմաստիճանում, վորը նմուշի փոքր չափումների և ցեմենտի լավ ջերմահաղորդունակության շնորհիվ կարելի յեւ ընդունել միանդամայն բավական՝ նմուշի բոլոր մասերում միենույն ջերմաստիճանն ստանալու համար:

Նմուշ ԱՇ-Ի ԴՐԱՎԱՐՄՈՒ ՍԵՄԱՆԱՅԻ յԵՐԿԱՐՈՒՅՆՆ  
ԺՈՂՈՎԻՆՈՒՄԾ ՈՐՈՌՄ ՄՏԱԳԱԿԱՆՆԵՐ ԴԲԱՐՈՒՄ



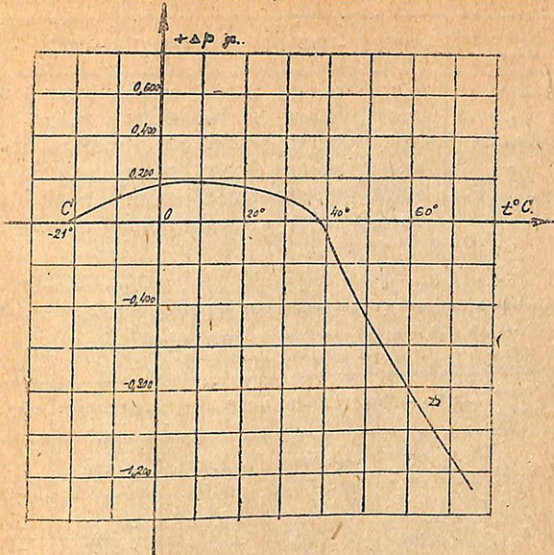
Գծադիր 4.

Հետո կատարվել են նմուշի գծային դեֆորմացիայի չափումները, վորից հետո նմուշը կշռվել եւ:

Վորովինետն յերկարության չափումը կատարվում եր սենյակի ջերմաստիճանի պայմաններում ( $t=14^{\circ}\text{C}$ ), ապա ջերմության ցրման շնորհիվ նմուշի ջերմաստիճանի անկումը կանխելու համար, նախ քան չափումը, նմուշը արագ փաթաթվում եր սովորական թղթով, իսկ չափման ժամանակամիջոցը, շնորհիվ ձեռք բերված փորձառության, հնարավոր լեղավ հասցնել մինչև 10—15 վարկանի:

Այս կանխիչ միջոցառումների շնորհիվ կարելի յե համոզված առել, վոր ստացված թվերը համապատասխանում են նմուշի մատանաշված ջերմաստիճանին:

Նմուշ աջի գրապահութեակության փոշիուումը:



Գծագիր 5.

Փորձերից ստացվել են՝ ա) նմուշի գծային գեֆորմացիաները, և կսած  $-21^{\circ}\text{C}$  մինչեւ  $+75^{\circ}\text{C}$ , և բ) նմուշի մեջ ջրի պարունակության փոփոխումը՝ բարեխանության մատնանշված ինտերվալում:

Արդյունքները բերեած են 7—9 աղյուսակներում։ Այս տվյալ-

Աղյուսակ Հ 7

Նմուշների յերկարությունները (միլիմետրներ)՝ ողի տարբեր ջերմասիճանի դեպքում։

Նմուշ-համար	Ցեմենտի տեսակը	$-21^{\circ}\text{C}$	$-1^{\circ}\text{C}$	$+19,6^{\circ}\text{C}$	$+38^{\circ}\text{C}$	$+50^{\circ}\text{C}$	$+75^{\circ}\text{C}$
1	Կասպիկ	96,413	96,459	96,476	96,477	96,450	96,430
2	"	96,084	96,116	96,136	96,138	96,128	96,117
1'	Դավալուի	98,506	98,536	98,553	98,547	98,523	98,475
2'	"	96,714	96,744	96,761	96,755	96,743	96,715
1''	Պուցուան	97,201	97,224	97,238	97,225	97,208	97,150
2''	"	96,959	96,986	96,933	96,980	96,963	96,905

Աղյուսակ Հ 8

Նմուշների կոխաներ (գրաֆիկ) — ողի տարբեր ջերմաստիճանի դեպքով

Նմուշ՝ հա- մար	Ցեմենտի տեսակը	-21°C	-1°C	+19,6°C	+38°C	+50°C	+75°C
1	Կառպիթ	95,264	95,748	95,712	95,695	95,190	94,795
2	"	92,405	92,809	92,770	92,793	92,468	92,110
1'	Դավալութ	100,855	101,025	100,982	100,887	100,389	99,577
2'	"	98,345	98,589	98,545	98,475	97,973	97,193
1''	Պուցոլան	74,555	74,823	74,754	74,637	74,293	73,560
2''	"	73,770	74,172	74,095	73,970	73,502	72,865

Աղյուսակ Հ 9

Ողում պահպած նմուշների յերկարության լույն կոտի աճումը տաքացներուց

Կերպիթի թվերը — յերկարության աճումը՝ մմ-ով

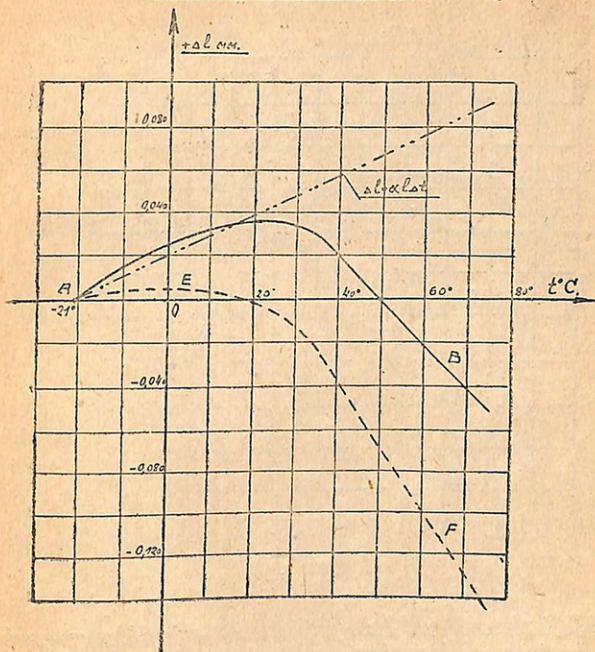
Ներքինի ՝ կշռի աճումը՝ զբաժներով.

Նմուշ՝ հա- մար	Ցեմենտի տեսակը	-21° — 1°	-21° — +19,6	-21° — +38°	-21° — +50°	-21° — +75°
1	Կառպիթ	+0,046 +0,484	+0,063 +0,448	+0,064 +0,431	+0,037 +0,074	+0,017 -0,479
2	"	+0,032 +0,404	+0,052 +0,365	+0,054 +0,388	+0,042 +0,063	+0,033 -0,295
1'	Դավալութ	+0,030 +0,170	+0,047 +0,127	+0,041 +0,032	+0,017 -0,466	-0,031 -1,278
2'	"	+0,030 +0,244	+0,047 +0,200	+0,041 +0,130	+0,029 -0,362	+0,001 -1,152
1''	Պուցոլան.	+0,023 +0,268	+0,037 +0,199	+0,024 +0,082	+0,007 -0,262	-0,051 -0,995
2''	"	+0,027 +0,402	+0,034 +0,325	+0,021 +0,200	-0,004 -0,268	-0,054 -0,905

Ներքինի հիման վրա կառուցված են ջերմության շնորհիվ նմուշի դեպքության և խոնավության կորսարի կառպակցությունն արտահայտող կորերը:

AB կորերը ներկայացնում են դեֆորմացիայի փոփոխումը՝ ջերմաստիճանից կախված: CD կորերը ներկայացնում են խոնավության կորուստը՝ ջերմաստիճանից կախված (տես 2—7 գծադրերը):

Համուշ №1"-ի (դրույզը սեմհնափից) յերկարության փոփոխությունը  
ոդում տափացնելու դեպքում



Գ. 6.

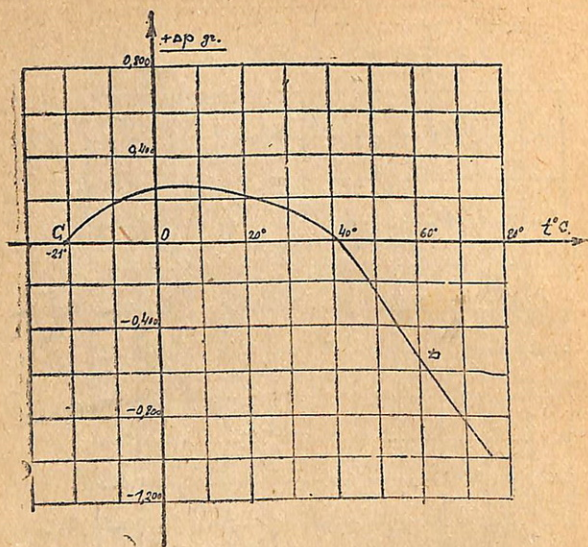
AB կորն ունի պարզ արտահայտվող մաքսիմում, վորը պետք է վերագրել այն բանին, վոր ջերմաստիճանի շնորհիվ նմուշն ընդարձակվում և և ջրի պարունակությունը պակասում: Ջերմաստիճանի շնորհիվ տեղի ունեցողը ընդարձակվում, ինչպես հայտնի յեւ, կատարվում և գծալին որենքով և վորոշվում և հետևյալ բանաձեռվ:

$$\Delta l = \alpha l \Delta t, + \cdot \quad (1)$$

ուր առն գծալին ընդարձակման գործակիցն և, վորը տարբեր ցեմենտների համար տարբեր եւ:

ա-ի միջին արժեքն ըստ պրոֆ. Զալիկերի «Յերկաթ բետոն» դաշընթացի, բետոնների համար կարելի յեւ ընդունել  $10^{-5}$ :

Նմուշ Ա1-ի ջրապարունակության փոփոխություն



Գ. 7.

AB կորի որդինատներից հանելով (1) բանաձևից ստացած համապատասխան որդինատները, ստանում ենք կետեր, վորոնցով տարված նոր կոր գիծն արտահայտում է կծկման կախումը նմուշի ջրապարունակման փոփոխությունից, վորը տեղի է ունենում տաքացման ժամանակի:

CD և EF կորերի ակնբախ նմանությունը ցույց է տալիս, վոր ջերմաստիճանի փոփոխման դեպքում ցեմենտի կծկման վրա ազդող յերկրորդ գործոնը պայմանավորվում է հենց նմուշի ջրի կորուստով: Այս յերկույթն ընդհանուր է ցեմենտի բոլոր տեսակների համար:

Յուրաքանչյուր ցեմենտի համար գոյություն ունի վորոշակի ջերմաստիճան, վորի դեպքում ստացվում է մաքսիմալ կծկում:

Իսկ կողմից փորձարկված ցեմենտների համար ստացված են հետևյալ միջին արժեքները՝

Կասպիի պորտլանդ ցեմենտ . . . . .  $31^{\circ}\text{C}$ ,  
 Դավալուի » . . . . .  $26^{\circ}\text{C}$ ,  
 Պուցոլանային պորտլանդ ցեմենտ . . . . .  $22^{\circ}\text{C}$ .

Այստեղից հետեւում ե, վոր պուցոլանային հավելույթները նվազեցնում են առավելագույն կծկման համապատասխանող ջերմաստիճանը:

Նման փորձեր կատարվել են նաև ջրում պահված նմուշների նկատմամբ, վորոնց արդյունքները արված են 10, 11 և 12 աղյուսակներում:

#### Աղյուսակ 10

Զրում պահված նմուշների յերկարությունները (մմ) — օրի տարբեր ջերմաստիճանի դեպքում:

Նմուշն. համար.	Ցեմենտի տեսակը	$10^{\circ}\text{C}$	$24^{\circ}\text{C}$	$39^{\circ}\text{C}$	$60^{\circ}\text{C}$
5	Կասպիի	96,979	96,990	97,001	97,015
6	,	96,892	96,910	96,934	96,960
4'	Դավալուի	99,116	99,145	99,170	99,190
5'	,	98,497	98,526	98,552	98,575
6'	,	98,812	98,839	98,866	98,890
4''	Պուցոլանային	97,522	97,536	97,550	97,555
5''	,	96,982	96,995	97,006	97,020
6''	,	96,970	96,980	96,992	97,005

#### Աղյուսակ 11

Զրում պահված նմուշների կօխաները (գր) օրի տարբեր ջերմաստիճանի դեպքում:

Նմուշն. համար.	Ցեմենտի տեսակը	$10^{\circ}\text{C}$	$24^{\circ}\text{C}$	$39^{\circ}\text{C}$	$60^{\circ}\text{C}$
5	Կասպիի	64,580	64,660	64,870	65,080
6	,	62,490	62,590	62,580	62,710
4'	Դավալուի	65,730	65,790	65,870	66,100
5'	,	66,020	66,020	66,020	66,200
6'	,	67,020	67,190	67,100	67,350
4''	Պուցոլանային	45,000	45,080	45,170	45,600
5''	,	45,740	45,800	45,850	46,290
6''	,	45,090	45,260	45,270	45,760

Զրում պահված նմուշների յուրկարության չել կօրի աձումը՝ ռամացնելուց-

Վերնի թվերը—յերկարության աճումը (մմ).

Ներքեր՝ —կշռի աճումը (գր).

Նմուշ համար.	Ցեմենտի տեսակը	+10°—+24°C	+10°—+39°C	+10°—+60°C
5	Կասպիի	+0,011 +0,080	+0,022 +0,290	+0,036 +0,500
6	,	+0,018 +0,100	+0,042 +0,090	+0,068 +0,220
4'	Դավալուի	+0,029 +0,060	+0,054 +0,140	+0,074 +0,370
5'	,	+0,029 0	+0,055 0	+0,078 +0,180
6'	,	+0,027 +0,170	+0,054 +0,080	+0,078 +0,330
4''	Պուցոլանային	+0,014 +0,080	+0,020 +0,170	+0,033 +0,600
5''	,	+0,013 +0,060	+0,024 +0,110	+0,038 +0,550
6''	,	+0,010 +0,170	+0,022 +0,180	+0,035 +0,670

Արդյունքները ցուց են տալիս, ինչպես և պետք եր սպասել, վոր նմուշները ջրում տաքացնելիս +10°C մինչև +60°C չեն լինթարկվում ջրապարունակման գործոնի ազդեցության՝ իրանց լայնացման ժամանակ, վորովհետև ջրում պահպելիս ջուր չեն կորցնում. ընդհակառակը, տաքացվելիս հագենում են ջրով, ավելացնելով իրենց քաշը, վորը լիբեռում ե № 9 գծագրից:

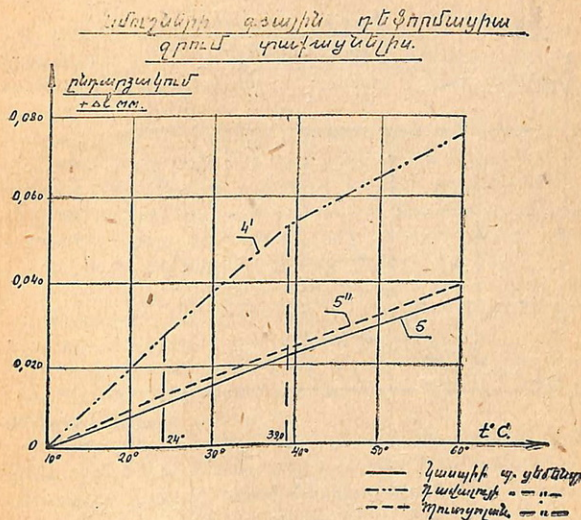
Հավանական ե, վոր ջուրը փոխարինում ե նմուշի ծակոտիներում յեղած ողին:

Համար 12 աղյուսակի հիման վրա կառուցված կորերը պարզություց են տալիս լայնացման ուղղագիծ որենքը (փորձերի ճշտության սահմաններում) նմուշները ջրում տաքացնելու զեղքում, ընդուրում ստացված գործակիցները բավականին մոտ են բետոնների ջերմային ընդարձակման գործակիցներին ( $9 \cdot 10^{-6}$ — $11 \cdot 10^{-6}$ ). այսպես՝ կասպիի մը ցեմենտի համար + α = 7,6 · 10^{-6},

$$\text{Դավալում} \quad \Rightarrow \quad \alpha = 4,9 \cdot 10^{-6},$$

$$\text{Պուցուանային} \quad \Rightarrow \quad \alpha = 7,8 \cdot 10^{-6}.$$

Անկասկած, այս մեծությունների տարբերությունը պայմանավորված է ցեմենտների տեսակներով:



Գձ. 8.

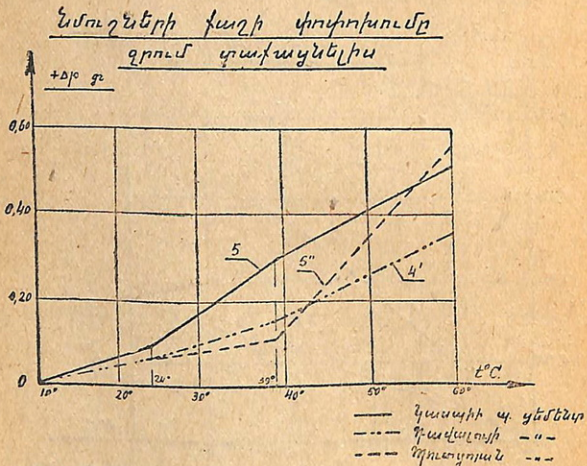
Այսպիսով ջրում տաքացված ցեմենտի նմուշների գծային փոփոխությունը լիովին պայմանավորվում է միայն նրանց ջերմացին ընդարձակմամբ:

Համեմատելով կծկման յերկու գործոնները (Ջերմայինը և խոնավությանը), մենք տեսնում ենք, վոր նմուշի ջերմության փոփոխման դեպքում նրա ջրապարունակման դործոնը խոշոր գեր է խաղում, այն բնչ մինչև հիմա այդ չեր նկատված և նկատի չի առնված:

Ըսդհանրապես բևոնային ճարտարագիտական կառուցվածքների հաշվումների ժամանակ նկատի չե առնվում միայն բետոնի ջերմացին ընդարձակումը ջերմաստիճանների փոփոխման դեպքում, մինչդեռ ջրապարունակման դործոնը կարող է վոչ միայն նվազեցնել այդ:

ընդարձակման չափը, այլ և առաջացնել հակառակ նշանի դեֆորմացիա (գծաղ. 4 և 6):

Այդ ստիպում ե մեզ վերանայել մինչև հիմա կիրարկվող ջերմային հաշվումների սկզբունքները, մտցնելով նրանց մեջ ջրապարունակման գործոնի ազդեցությունը:



Գծ. 9.

Վերջացնելով հաճելի պարագ եմ համարում հայտնել խորին շնորհակալություն պրոֆ. Դ. Խ. Զալբյանին՝ տվյալ թեմայի առաջարկման համար, և պրոֆ. Լ. Ա. Բուտինյանին՝ նրա ցուցաբերած հետաքրքրության և տվյալ խորհուրդների համար:

Инж. А. ХАЛПАХЧЯН.

## УСАДКА ЦЕМЕНТОВ В ЗАВИСИМОСТИ ОТ ТЕМПЕРАТУРЫ И ВЛАЖНОСТИ

### РЕЗЮМЕ

1. В работе было изучено явление усадки трех цементов: Каспийского (ССР Грузия), Давалинского и Пуццоланового, приготовленного из Давалинского п. цемента и Анийской гемзы, взятых в равных пропорциях.

Определены абсолютные величины усадок цементного камня при хранении на воздухе и в воде (табл. 1—6). Выяснено, что добавление к Давалинскому портланд цементу пущоланической добавки повышает усадку при воздушном хранении на 25—30%, а при хранении в воде уменьшает усадку почти в четыре раза.

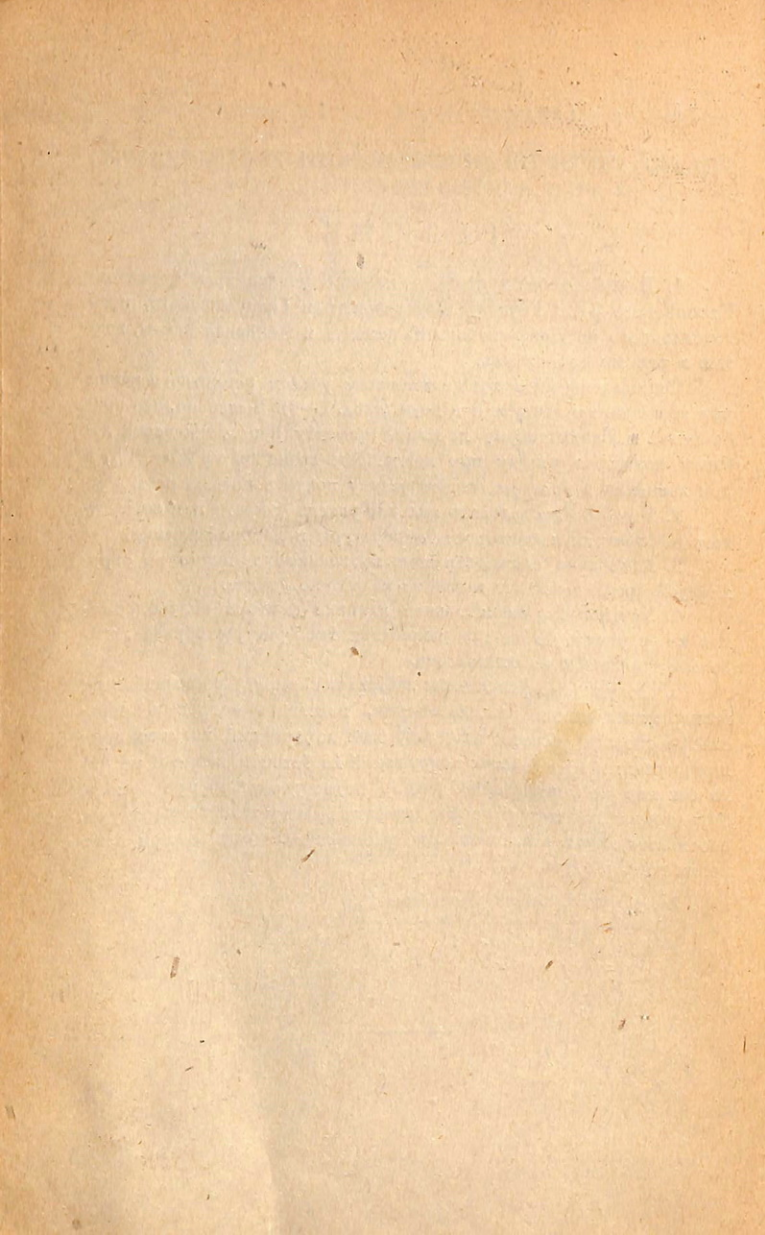
2. В работе исследовано явление усадки цемента при совместном действии двух факторов: температуры и водосодержания.

3. Колебание влажности при постоянной температуре окружающей среды вызывает заметное колебание усадки.

4. Установлено значительное влияние фактора водосодержания на величину усадки при колебании температуры образца, что до сих пор никем не отмечалось.

5. Полученные результаты заставляют, наряду с дальнейшими экспериментальными исследованиями, поставить вопрос о пересмотре способа расчета температурных деформаций не массивных инженерных и гражданских сооружений из бетонов, вводя в расчет до сих пор не учитываемый фактор водосодержания, при помощи определения для каждого сорта цемента критической температуры, соответствующей максимальному расширению цемента при изменении температуры.

Лаборатория Испытаний Материалов  
Эриванского Политехн. Института  
IV—1935 г.



Инж. Р. С. АКОПЯН

УПРУГИЕ СВОЙСТВА ПЕМЗОВОГО БЕТОНА.



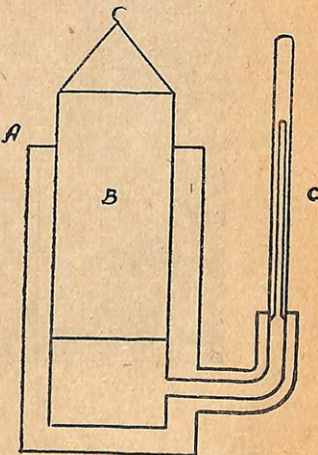
Вместе с изучением механической прочности и прочих свойств пемзового бетона\*), в 1931 г. нами были также поставлены опыты по определению упругих свойств этого материала.

Опыты в указанном направлении были ограничены изучением деформаций лишь одного состава (1 : 3 : 5) пемзового бетона, при возрасте образцов в два месяца.

Определение деформаций производилось при двух видах работы материала — при простом сжатии и при изгибе. Самые же измерения производились сконструированным нами для этой цели специальным прибором и параллельно-микроскопом.

#### ОПИСАНИЕ ПРИБОРА

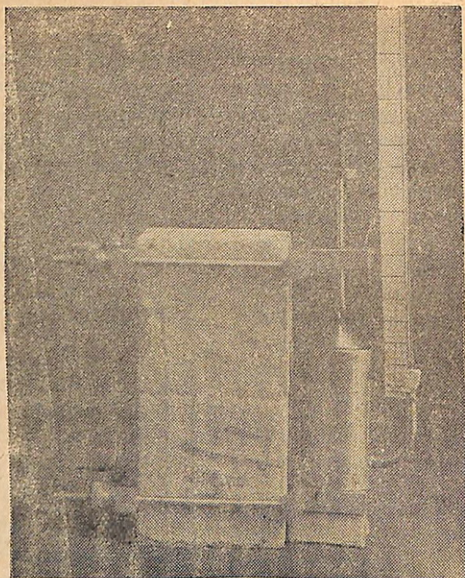
Сконструированный АИС'ом прибор для измерения деформаций, состоит из медного полого цилиндра А (см. черт. № 1) с плотно входящим в него поршнем В и вертикально установленной стеклянной капилярной трубки С, которая своим нижним концом сообщается к нижней части цилиндра. Внутренний диаметр цилиндра — 24,5 мм. диаметр стеклянной трубки — 0,55 мм. Следовательно отношение площадей сечений цилиндра и трубы с небольшой погрешностью составляет 2.000.



Черт. 1.

\*.) См. нашу работу „Теплые бетоны с применением пемзы и туфовой мелочи“ помещенную в Сборнике № 1 Научно-Иссслед. Трудов Н. И. С'я Уполн. НКТП Армении 1934 г.

Нижняя часть цилиндра (т. е. пространство под поршнем) заполнялась во время опытов подкрашенной водой, которая проходила также в стеклянную трубку.



Фото

Описанный прибор прикреплялся на выступающей части одного из двух хомутов (нижнего), которые устанавливались на пемзобетонном образце размерами  $7,07 \times 7,07 \times 14$  см. на расстоянии 10 см. друг от друга (см. фотоснимок).

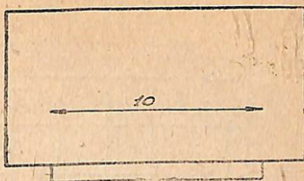
Конец поршня В прикреплялся к выступу верхнего хомута. При сжатии образца поршень, опускаясь в цилиндре А, вытеснял из него воду в стеклянную трубку.

Поднятие столбика воды в трубке, таким образом, давало увеличенную в 2000 раз величину деформации образца.

При измерениях с помощью микроскопа, на одной грани об-

разца на расстоянии 10 см. друг от друга прикреплялись два куска тонкой проволоки как показано на черт. № 2.

Заостренные концы проволок устанавливались приблизительно на расстоянии 1—15 мм. Деформации определялись измерением указанного расстояния при разных стадиях загружения образца.



Черт. 2

### РЕЗУЛЬТАТЫ ОПЫТОВ

1. Деформации пемзобетонных образцов размерами 7,07x7,07x14 см. в возрасте 60 дней при сжатии.  
(Измерения производились описанным выше прибором).

Образец № 1.

Табл. I.

№	Сжимающая сила в кг.	Показания прибора в см.	Действительные величины деформаций в см.	Примечание
1	500	6,4	0,00320	Рабочая высота образца=10 см.
2	600	8,2	0,00410	
3	700	10,1	0,00505	Площадь сечения
4	800	11,6	0,00580	=50 см <sup>2</sup> .
5	900	13,4	0,00670	

Образец № 2.

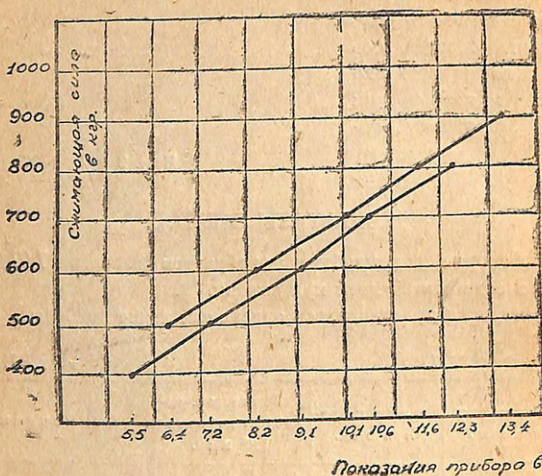
Табл. II.

1	400	5,5	0,00275
2	500	7,2	0,00360
3	600	9,1	0,00455
4	700	10,6	0,00530
5	800	12,3	0,00615

Если полученные результаты изобразить графически, т. е. по оси абсцисс отложить в некотором масштабе величины деформаций, а по оси ординат—соответствующие значения сжимающей

силы, то зависимость между деформациями и силой выразится в обоих случаях приблизительно прямой линией (см. черт. № 3).

Следовательно модуль упругости пемзового бетона в изучен-



Черт. 3.

ных пределах изменения силы, является почти постоянной величиной.

Величина его по полученным результатам от испытания первого образца составляет

$$E_1 = \frac{h}{F} \frac{P_2 - P_1}{e_2 - e_1} = \frac{10}{50} \frac{(900 - 500)}{(0,0067 - 0,0032)} = 23.000 \text{ кг}/\text{см}^2$$

По данным испытаниям 2-го образца

$$E_2 = \frac{10}{50} \frac{800 - 400}{0,00615 - 0,00275} = 23.500 \text{ кг}/\text{см}^2$$

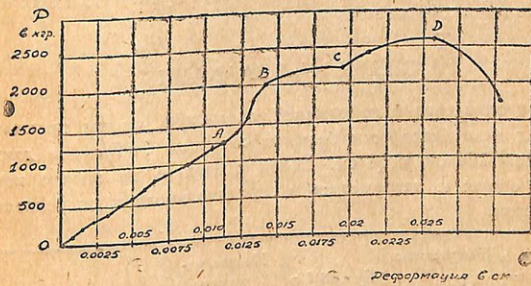
## Образец № 3.

Табл. III.

(Измерения производились микроскопом)

№	Сжимающая сила кг.	Деформации в см.	№	Сжимающая сила кг.	Деформации в см.	Примечание
1	100	0,0007	10	1200	0,01050	
2	200	0,0014	11	1400	0,01220	
3	300	0,0023	12	1600	0,01300	
4	400	0,0032	13	1800	0,01330	
5	500	0,0041	14	2000	0,01430	
6	600	0,0049	15	2200	0,01940	
7	700	0,0056	16	2400	0,02130	
8	800	0,0065	17	2600	0,02570	
9	1000	0,00890	18	2650	разрушение	

Опыты с образцом № 3 были продолжены до его разрушения, что дало возможность выявить полную картину деформаций пемзового бетона (см. черт. № 4).



Черт. 4.

Из графика видно, что прямолинейная зависимость между деформациями и сжимающей силой в пемзовом бетоне, соблюдаются лишь в определенных пределах. Этот предел, т. е. предел пропорциональности, судя по графику приблизительно определяется силой 1250 кг. и соответствующей деформацией 0,01125 см., или,

безотносительно к размерам образца, напряжением 25 кг/см<sup>2</sup> и относительной деформацией 0,001125.

После предела пропорциональности наблюдается резкое повышение кривой, т. е. уменьшение роста деформаций при увеличении силы. Это явление продолжается до точки В, отвечающей напряжению 40 кг/см<sup>2</sup>. От точки В до точки С наблюдается обратная картина; деформации растут весьма быстро, при сравнительно небольших приращениях сжимающей силы (материал течет). При дальнейшем возрастании силы материал снова работает нормально, т. е. деформации растут по тому же закону, что и до точки А (любопытно, что точка С находится на продолжении прямой ОА). В точке Д происходит разрушение.

Из предыдущего видно, что в конструкциях выполняемых из пемзового бетона допускаемые напряжения, для необходимой надежности, следует брать не более 25 кг/см<sup>2</sup>, т. е. не более предела пропорциональности. В этих же пределах отношение напряжений к деформациям, т. е. модуль упругости,

$$E_3 = \frac{25}{0,001125} = 22.200 \text{ кг/см}^2.$$

Таким образом по данным опытов над тремя образцами величина модуля упругости пемзового бетона при сжатии колеблется от 22.200 до 23.500 кг/см<sup>2</sup>.

### ОПЫТЫ НАД БАЛКАМИ

При определении деформаций от изгиба, опыты производились над пемзобетонными балками сечением 7x7 см. и длиною (расчетной) 100 см. и 54 см. Балки ставились на вполне неподвижные опоры и нагружались в середине пролета, сосредоточенным грузом.

Сосред. сила в се- редине про- лета в кг Р	Напряжение $R = \frac{M}{W}$ в кг/см <sup>2</sup>	Прогиб f в см.	Модуль уп- ругости $E = \frac{Pl^3}{48If}$	Призначие
10	5,5	0,026	40,000	Пролет балки 100 см.
30	14,2	0,130	24,000	Собственный вес балки:
44	20,4	разрушение		5 кг.

Испытание балки № 2.

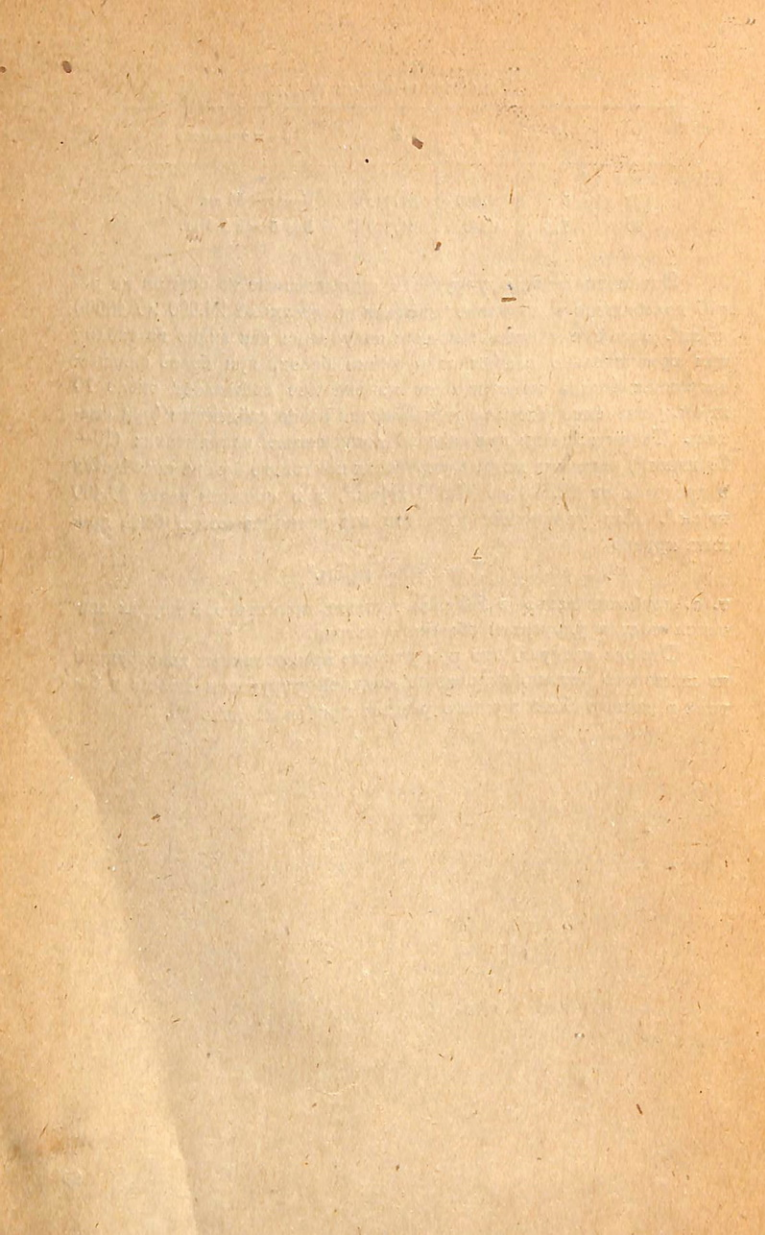
P	R	F	E	Примечание
20	5	0,009	36,330	Пролет—54 см.
30	7,4	0,02	24,600	Вес балки 2,5 кг.

Значения модуля упругости определенные из опытов на изгиб колеблются в довольно широких пределах: от 24.000 до 40000 кг/см<sup>2</sup>. Большие значения модуля получились как видно из таблиц при сравнительно слабом загружении балок, при более сильных нагрузках (когда максимальное напряжение составляет около 10 кг/см.<sup>2</sup>) значение модуля приближаются ранее найденным (при сжатии). Таким образом при обычно допускаемых напряжениях (10—20 кг/см.<sup>2</sup>) величина модуля упругости пемзового бетона колеблется в пределах от 22.200 до 24.600 кг/см<sup>2</sup>, а в среднем равна 23.400 кг/см<sup>2</sup>. Для упрощения расчетов эта величина может быть принята кругло

$$E = 25.000 \text{ кг/см}^2$$

т. е. приблизительно в 5,5 раза меньше принятого в нормах значения модуля упругости обычного бетона.

Отсюда следует, что при расчете армированных конструкций из пемзового бетона, отношение модулей упругости железа и бетона и должно быть принято разным приблизительно 80.



Թ. Ա. Պ. Ա. Գ. Յ. Ս. Ն.

ԽՈՐՀՈՂԱՅԻՆ ՀԱՅԱՍՏԱՆԻ ԲՆԱԿԱՆ ՔԱՐԵՐԻ  
ՄԻ ՔԱՆԻ ՏԵՍԱԿՆԵՐԸ ՅԵՎ ՆՐԱՆՑ  
ՀԱՏԿՈՒԹՅՈՒՆՆԵՐԸ



## I. ՅԵՐԵՎԱՆՈՒՄ ԳՈՐԾԱԴՐՎՈՂ ՏՈՒՖԵՐԸ ՅԵՎԱՇԱԼՏՆԵՐԸ

Յերևանի շրջակալքի շինարարական քարերը մեծ քանակությամբ գործադրվում են քաղաքի, ինչպես նաև շրջանի գյուղերի շինարարության ասպարհում վոչ միայն վորպես պատի շարվածքի քար, այլև վորպես արհեստական ավազ խիճ և այլն:

Չնայած նրանց լայն գործածության՝ մինչև այժմ մեզ մոտ այդ նյութերի շին. հատկությունների սիստեմատիկ ուսումնասիրությունը չի կատարված:

Պոլիտեխնիկ ինստիտուտի շինարարական նյութերի տեխնոլոգիական լաբորատորիան ձարս. Ա. Մանանդյանի ղեկավարությամբ ձեռնարկել և Հայաստանի քարավին շինանյութերի հատկությունների ուսումնասիրությանը՝ այդ հատկությունների հետ կապված գործնական կիրառման նպատակահարմար ձեռքը պարզեց համար:

Առաջին հերթին ուսումնասիրության են լենթարկված Յերևանի շրջալատի արդեն կիրառվող շին-նյութերի հատկությունները, վորի հետ զուգընթացար ուսումնասիրված են նաև Հայաստանի մի քանի շրջանների գունավոր շինարարական քարերի հատկությունները (վորոնք մինչև այժմ կիրառություն չեն ունեցել) և կիրառման ձեռքը:

### Տ Ա Խ Ֆ Ե Ր

(Կ Ա Ր Ա Դ Ր Ա Կ Ա Վ Ա Ն Ա Կ Ա Ր Կ \*)

Յերևանի շրջանի արեւելան և հյուսիս-արևելան մասը ներկայացնում է հրաբխալին ոջախների մի ցանց՝ հարուստ բնական-շինարարական նյութերով, վորտեղ զվասպրավես տիրապետում են տուֆերը, անդեղիսուրագալտները, բաղալարը, պեմզայի ավազները, տրաստիքերը, գիտառմիտը, գիտը և այլն: Դրանցից ամենաշատ տարածվածը գիտառմիտը, գիտը և այլն: Վորոնք շնորհիվ իրենց աեղազըրական պայմանների բաժանվում են մի քանի գալուերի:

\*) Տուփերի բունած տարածության, զերտերի հաստության և պաշտը մասին ավանդները միայն արտաքին դիտողությունների արդյունք են և վոչ հետախուզության:

1. Զրվեծ զյաւղի տուֆի մասսան գտնվում և Յերևան քաղաքից ութ կիլոմետր գեպի արևելք: Տարածվում է Զրվեծ զյաւղից—679 կետից—շարունակվում մոտ կես կիլոմետր արևելք, թեք վում հյուսիս և ուղիղ գծով հասնում մինչև Թեղիբարագ գյուղ: Արևմուտքից սահմանափակվում է. Թեղիբարագ—644 կմար արևելյան կողմից—643.9 կետը, շարունակվում է գեպի հարավ մոտ մեկ և կես կիլոմետր (տես քարտեղ) մինչև Զրվեծ ձորի վերջին սահմանքը: Բոնում և տասից մինչև տասնեւմեկ քառ. կիլոմետր մակերևս, չորսից մինչև յոթը մետր հաստությամբ:

Դրսից, վորոշ տեղերում, ծածկված է հողի բարակ շերտով, կեսից մինչև մեկ մետր հաստությամբ, իսկ մեծ մասամբ ծածկությունի: Հատ ուղղաձիգ կտրվածքի միջին հաշվով տալիս և հետեւալ պատկերը. վերնից՝ մեկից-յերկու մետր կարմիր տուֆ. յերկորդ մետրից-վեցերորդ մետր՝ սև տուֆ, և ներքում վերջանում է սև տեսակի թուլլ մոխրատուֆով:

Ճանապարհներ. — Զրվեծ-Նորք միջպուղային ճանապարհ. Նորք-Յերևան խճուղի: Զրվեծ-Թոխմախ զնուլ—սայլի, և Թոխմախ գյուղ-կայարան—խճուղի:

2. Ավանի տուֆի շերտը ձգվում և Գետառչայի լեռայնությամբ Նորքի ձորից մինչև Ավան գյուղը, ունենալով արևելյաց սահմանափակ գիծ Ավան-Նորք ջրբաժանը և արևմուտքից՝ Առինջ-Քանաքեռ-Նորքի ձորի ջրբաժանը: Գրավում է վեցից-յոթը քառ. կիլոմետր տարածություն, հնգից-ութ մետր հաստությամբ: Վերնից ծածկված է հողի բարակ շերտով, վորից հետո կարմիր տուֆ մեկից-յերկու (յերբեմն ավելի) մետր, շարունակվում է սև տուֆ և վերջանում սև փուխը տեսակի տուֆով:

Ճանապարհներ. — Ավանի տուֆի քարահանքից — Յերևանի խճուղի:

3. Առինջ գյուղի տուֆը կազմում է Ավանի քարահանքի շարունակությունը և ունի նույն դասավորությունը: Փուլում և Առինջ գյուղի հարավային մասում, բռնում և մոտ մեկից-յերկու քառ. կիլոմ. մակերես, չորսից-վեց մետր հաստությամբ: Յերևանի հետ կապված է Ավան-Յերևան և Ելլար-Յերևան խճուղով:

4. Մնուք գյուղի տուֆը գտնվում և Առինջ գյուղից դեպի հյուսիս: Քաղաքի հետ կապված է Ելլար-Յերևան խճուղով: Անհաժեշտ և նշել վոր Յերևան-Սևան նոր կառուցվող լեռաթուղին անցնում և Առինջի և Մհուրի քարահանքերի մոտից:

5. Թարխանյան քարահանքը գտնվում է Յերևան քաղաքի հարավային մասում, կայարանի մոտ: Քարահանքն այժմ չի ոգտագործվում: Բոնած տարածությունը վերածվել է բնակելի վայրի:

Վերը հիշված տուփերի ֆիզ. մեխ. հատկությունների վարոշում՝ ները կատարված են ներքոնիշալ մեթոդներով.

ա) Սառնակականություն. — Փորձի համար վերցված են խորանարդներ՝  $7 \times 7 \times 7$  սմ մեծությամբ։ Սառեցումը կատարված է պրոֆ. Բելելյուբսկիի հողմնահարման գործիքով՝ մինուս  $15^{\circ}$ -ից մինչև  $21^{\circ}\text{C}$  սահմաններում։ Յուրաքանչյուր անգամ սառեցման տևղությունը չեղել եռթ ժամ, վորից հետո գրվել եղալյուս  $12^{\circ}$ -ից մինչև պլյուս  $15^{\circ}\text{C}$  ջերմություն ունեցող ջրում՝ վեց ժամ տևղությամբ։

Սառեցման փորձի չենթարկված նմուշները տվել են ճաքվածքներ մեծ մասամբ խորանարդի սիմետրիկ հարթությամբ, և ճաքը սկավել ե անմիջապես կողից կամ կողին մոտիկ տարածությունից։ Ճաքվածք առաջանալուց հետո սառեցումը շարունակվել ե մինչև  $25^{\circ}\text{C}$  անգամ, բայց ճաքված մասերի անջատում չի նկատվել։ Վորոշ նմուշների վրա նկատված ե գագաթների և կողերի մասնակի կլորացում։ Մակերեսային-հարթ քայլքայման գեպքեր չեն նկատված։

Աղյուսակի սառնակայունության սյունակում բերված թվերից առաջինը ցուցը ե տալիս, վոր առաջին ճաքը կամ քայլքայումը նկատվել ե արդքան անգամ սառեցնելուց հետո, իսկ վերջին թվերը ցուցը են տալիս մաքսիմում դիմացկանությունը։

Եռուն տուփերից պատրաստված հին հուշարձանները (Ավանի, Մհուրի, Յերկանի լեկեցիները) ունեն  $500-1000$  տարվա գոյություն։ Բայց այդ տուփերի վրա ներկայումս քայլքայման հետքեր չեն նկատվում։ Ինքնարտինքան պարզ ե, վոր նշված տուփերի սառնակայունության դիմացկանությունը պետք ե համարել միանգամայն բարպարար։

բ) Զերմանցիկություն. — ԽՍՀՄ-ի գիտահետազոտական լաբորատորիաներում կատարված բազմաթիվ փորձերը ցուցը են տվել վոր լաբորատորիայում կատարված փորոշումները չոր լեղանակով չեն տալիս այն արդյունքը, ինչ վոր ստացվում ե բնական խոնավ վիճակում (շարվածքում)։ Տարբերությունը զգալի չափով մեծ ե։ Հիմնվելով պրոֆ. Վ. Պ. Նեկրասովի սկզբունքի վրա\*), ըստ նրա կազմած կորի գուրս ե բերված (մոտավոր ճշտությամբ) փորձի չենթարկված տուփերի ջերմանցիկության գործնական կոեֆիցիենտը « $\Delta$ »-ն շարվածքում (տես գրաֆիկ № 1)։

Զերմանցիկության գործնական մի քանի բնական ծակոտկեն նյութերի

\* Տես Բ. Փ. Вологодский—Новые строит. матер. и их применение, 1935 г.

ջերմանցիկության և ծավալային կշռի վերաբերյալ տվյալներ, այդ թվերի հիման վրա կազմված են մի նոր կոր և այդ կորի վրա համեմատական ձևով դուրս ենք բերված տուֆերի ջերմանցիկության գործակեցը չոր վիճակում, հաշվի առնելով, վոր ծակոտկեն նյութերի ծավալային կշռի մեծացմանը մեծանում և նաև ջերմանցիկության գործակեցը (տես գրաֆիկ Հ 2):

գ) Մաշվար կանություն.—Վերցված են  $7 \times 7 \times 7$  ամ չափի նմուշներ: Փորձը կատարված է Բեմեթի մաշեցնող սկավառակի վրա և հաշված է հետևյալ բանաձեռով՝  $N = \frac{g}{r}$ :  $N = \text{մաշումը} \text{ cm}^3\text{-ով}, g - \text{մաշման կորուսաց գրամմերով}, \text{և } r - \text{ը նյութի ծավալային կշռը:$

Մեր կատարած փորձերի արդյունքներն ամփոփված են առանձին աղյուսակում, վորը բերվում է ստորև (տես Հ 1 աղյուսակ, եջ 61):

Աղյուսակից պարզ է երեսում և, վոր տուփերի ֆիզ-հատկությունների մեջ միատեսակ են դուրս դալիս նրանց տեսակարար կշռները և շերտերի դասավորությունն ըստ դույների, վորից կարելի է լիզրակացնել, վոր հիշված վայրերի տուփերն առաջացել են միաժամանակ և ունեն միատեսակ ծագում:

Սև տուփերն առանաբարակ թեթև են և ծակոտկեն, մասնավորապես Մհուրի ու Առինջի (փուխը) տեսակները և ավելի հեշտ մշակելի են քան կարմիր տուփերը: Քարահանքերն ոգտագործելիս պետք է նկատի առնել վոր ու տուփերի ներքերը (կեսից մինչև մեկ մետր հաստությամբ) ավելի պակաս դիմացկուն են և կրկնակի անգում ավելի պակաս ծանրություն կարող են կրել իրենց վրա քան վերելի շերտերի տուփերը:

Ծնորհիվ տուփերի միջանցիկ ծակոտկենության, նրանց գործածությունը շարվածքում պետք է կատարվի նախապես թրջված վիճակով: Հակառակ դեպքում տուփը խլում և շաղախից ջուրը և հնարավորություն չի տալիս շաղախին (վորպես կապակցող նյութի) ստանալու համապատասխան ամրություն: Այդ հանդամանքն անպայման պետք է հաշվի առնել ցեմենտի շաղախի և տուփորետոնների գործածության դեպքում:

Թեթև տուփաբետոններ պատրաստելու գեպքում պետք է անպայման նկատի ունենալ, թե վեր քարահանքի տուփն և գործադըրավում, վորովհետև տարբեր վայրերի տուփերի ծավալային կշռներն ընկնող չափով տարբերվում են: Նույն տարբերությունը նկատաչքը է ընկնող չափով տարբերվում են: Նույն տարբերությունը նկատաչքը է նույնիսկ միենալու քարահանքի վերելի և ներքելի շերտերի մեջ:

Ծանրություն կրելու ունակության տեսակետից համեմատաբար պայելի բարձր արդյունք են տալիս կարմիր տուփերը: Նույնը պետք է առել նրանց սառնակալունության դիմացկանության մասին:

Ереванский горнозавод — тифы ЭРИВАНСКОГО РАЙОНА

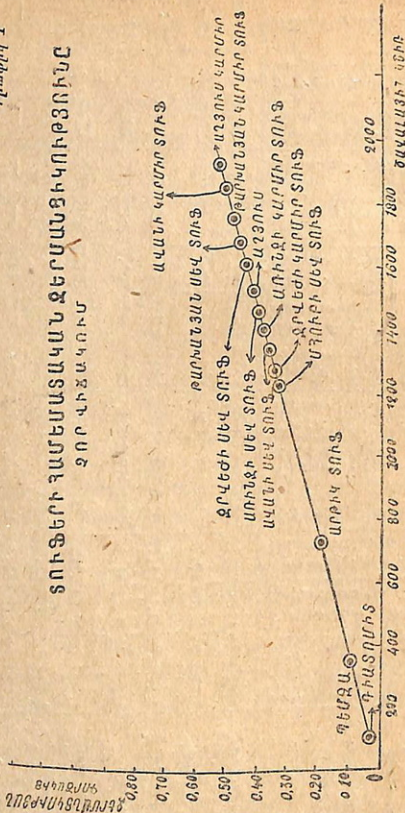
Чтобы знать 1

Наименование и месторождение породы		Граниты Джерек	Граниты с. Аван	Граниты Маринджак	Граниты Маренж	Граниты Маренж	Граниты Маренж	Граниты Маренж	Граниты Маренж	
Брекчии в водах сух. сос.	2,45 1,40 42,85 25,66 176,3 197,0 163,2 129,2 141,2 122,3	2,47 1,51 38,86 19,75 144,0 164,8 126,8 120,0 126,8 109,4	2,47 1,77 29,16 11,78 206,8 228,0 170,2 180,5 201,0 173,0	2,46 1,50 39,02 17,82 166,7 171,0 163,0 148,1 163,7 126,0	2,46 1,46 40,65 20,35 186,5 200,0 166,1 144,0 158,0 137,0	2,46 1,38 42,9 24,4 44 54,5 37,8 43,3 44,3 42,4	2,47 1,34 45,74 26,61 110,6 160,9 77,2 82,7 97,6 58,5	2,48 1,73 30,24 16,74 197,0 223,0 180,0 164,2 166,0 159,5	2,46 1,68 31,70 14,62 190,0 196,6 184,0 132,8 163,2 104,4	25 кг/м³
Брекчии в сеч. а. сеч.	0,51 127,9 0,35 0,51 127,5 0,39 0,59 127,5	0,46 0,70 51,3 0,37 0,55 93,0 0,38 0,58 104,2	0,46 0,70 51,3 0,37 0,55 93,0 0,38 0,58 104,2	0,37 0,55 98,9 0,38 0,58 104,2	— — —	—	0,34 0,50 175,5	0,45 0,68 57 0,48 0,66 94,8	12—24 13—17 24 кг/м³ 12—23 12—25 12—18	
Брекчии в сеч. б. а. сеч.	0,51 127,9 0,35 0,51 127,5 0,39 0,59 127,5	0,46 0,70 51,3 0,37 0,55 93,0 0,38 0,58 104,2	0,46 0,70 51,3 0,37 0,55 93,0 0,38 0,58 104,2	0,37 0,55 98,9 0,38 0,58 104,2	— — —	—	0,34 0,50 175,5	0,45 0,68 57 0,48 0,66 94,8	11—13 19—25	
Брекчии в сеч. а. сеч.	0,51 127,9 0,35 0,51 127,5 0,39 0,59 127,5	0,46 0,70 51,3 0,37 0,55 93,0 0,38 0,58 104,2	0,46 0,70 51,3 0,37 0,55 93,0 0,38 0,58 104,2	0,37 0,55 98,9 0,38 0,58 104,2	— — —	—	0,34 0,50 175,5	0,45 0,68 57 0,48 0,66 94,8	11—13 19—25	

Իրենց դիմացկունությամբ, բնանվածքի դիմանալու բարձր ու նակությամբ, ծակոտիկենության և ջրահագեցման փոքր ցույցանիշներով աչքի լին ընկնում Ավանի և Թարսանյանի կարմիր տուփերը:

### ԳՐԱՓԵԼԻ 1

## ՏՈՒՖԵՐԻ ՀԱՄԵՍԱՏԱԿԱՆ ԶԵՐԱՍՅԱՑԻԿՈՒԹՅՈՒՆԸ ՉՈՐ ՎԻՃԱԿՈՒՄ



Շնորհիվ իրենց ունեցած ալիք հատկությունների, նրանք կարող են դորձադրություն գտնել վոչ միայն պատերի, հիմքերի\* այլև համա-

\* Կարմիր տուփերը հիմքերի համար դորձադրելիս պետք է հիմքի և պատերանքում ստեղծել անջրանցնեկ մի շերտ՝ շենքի պատերը լուսավորթունից ապահովելու համար:

պատասխան բեռնվածություն ունեցող կոնստրուկտիվ նպատակների համար:

Նկատի ունենալով տուփերի ամրության աստիճանը, գտնում ենք վոր այդ տուփերը կարող են լայն գործազրություն ունենալ իրեն խոշոր հավելութ, ըստ իրենց ամրության համարյա բոլոր մարկաների

Դրամի 2

ՏՈՒԳԵՐԻ ՁԵՐՄԱՍՆՑՈՒՐՅԱՆ ԳՈՒՇԱԿԻՑ

ԸՍ Վ. Դ ԽԵԿՐԱՅՈՎԻ ԿՈՐԻ

ԹԱՐԱՎԱՆՑԱՆ ԿԱՐՄԻՐ ՏՈՒԳ

ԹԱՐԱՎԱՆՑԱՆ ՍԵՎ ՏՈՒԳ

ԱՄԻՆՉԻ ՍԵՎ ՏՈՒԳ

ԱՎԱՄԻ ՍԵՎ ՏՈՒԳ

ՄՅՈՒԹԻ ՍԵՎ ՏՈՒԳ

ՀՅՈՒՃԻ ՍԵՎ ՏՈՒԳ

ԱՄԻՆՉԻ ԿԱՐՄԻՐ ՏՈՒԳ

ԱՎԱՄԻ ԿԱՐՄԻՐ ՏՈՒԳ

ՀԻՊՐԱՆ ԵՄՄԵՇԱՀԿԲՆՀՈՐՄԴ

ԾԱՎԱՆՑԻՆ ԿԾՀՌ

0

0.25

0.20

0.15

0.10

0.05

0

1100	1200	1300	1400	1500	1600	1700	1800	1900	2000
------	------	------	------	------	------	------	------	------	------

բետոնների մեջ, բաղալաների և այլ պինդ քարերի խճերի փոխարեն: Հստ վորում կստացվի զգալի խնայողություն թե խճի պատրաստման, թե փոխադրական ծախքերի և թե կառուցումների թեթևացման ուղղությամբ:

Ենորհիվ արագ մաշվելու հատկության, տուփերը վոչ մի դեպքում չեն կարող զործադրվել այնպիսի տեղերում, վորտեղ շփումը մեծ է, որինակ՝ մալթերի, աստիճանների համար:

## II. Բ Ա. Զ Ա. Լ Տ Ն Ե Ր

Յերևան քաղաքում զործադրվող անդեղիտոբազալտները բանում են քաղաքի հյուսիսային և հարավարևելլան ծայրամասերը:

ա) Անդեղիտոբազալլան է բ. Հյուսիսային մասի անդեղիտոբազալտների զանգվածը տարածվում է Զանգու գետից (1 երգես) դեպի հյուսիս, հասնում է մինչև 538 կետը, այս ուղիղ գծով միանում նորքի ձորին; Այս շրջանի մեջ են մասնում Զանգուի, Կոնդի գերեզմանոցի, ժողովան և Արովյան փողոցի ծալքի քարահանքերը (տես վերջի քարտեղը):

Վերևից ծածկված է հողի բարակ շերտով: Զանգվածի հաստությունը տարածվում է չորսից մինչև տասներկու մետր: Վերևի շերտերը մեկից մինչև մեկ և կես մետր հաստությամբ ծակոտին են և թուլլ. վորքան շարունակվում են ներքու այնքան ծակոտինությունը պակասում է: Ըստ այդմ ել փոխվում են նրանց ճնշման դիմագրությունը: Վերևի ծակոտին տեսակները տալիս են  $30-40^{\circ}$  ավելի պակաս դիմագրություն շոշափական չերտերը:

բ) Բաղալտն է բ. Հարավարևելլ. շրջանի մեջ մտնում են սուրճվարակիչ հիվանդանոցի և Թոխմախան գյոլի քարահանքերը: Թոխմախան գյոլի բաղալտի պաշարը 7,435,900 խոր. մետրի յէ հասնում:

### ՔԻՄԻԱԿԱՆ ԲԱՂԱԳԻԹՈՒԹՅՈՒՆԻ<sup>\*)</sup>

	SiO <sub>2</sub>	TiO <sub>2</sub>	Al <sub>2</sub> O <sub>3</sub>	Fe <sub>2</sub> O <sub>3</sub>	FeO
Թոխմախան գյոլի բաղալտ 0/0	48,08	0,51	19,26	5,04	5,72
MnO	MgO	CaO	K <sub>2</sub> O	Na <sub>2</sub> O	
0,70	2,45	10,90	1,87	3,75	

Զանգու գետի անդեղիտոբազալտ 0/0 52,92 0,80 20,70 3,19  
4,28 0,13 4,19 7,48 2,75 4,25

Բաղալտների ուսումնասիրության արդյունքներն ամփոփված են № 2-րդ աղյուսակում, եջ 65:

<sup>\*)</sup> Թոխմախան գյոլի բաղալտի պաշարի և քիմիական անալիզների ուսումնասիրությունները կատարված են Յերևանի Կերպարան, հանքաբան, ինստիտուտի կողմից:

## ՀԵՐԱՎՈՐԻ ԲՈՉՈՒՏԱՑՄԱՆ ՔՐԱՅԻ ԵՐԻՎԱՆԻ ԲԱԶԱԼՏԻ

### Ա Դ Ա Խ Ա Հ Ա Կ

Վարսականի վայր	Նմուշի տեսքը իկ և տակը	Нименование и роль образца	Ա Դ Ա Խ Ա Հ Ա Կ									
			Ժամանակը. մնացան ընդունման/ Վремянн. сопротивление Kg/cm <sup>2</sup>	Ժամանակը. հաղեցած էլեկտրական B сухом сост.	Մարմար B насыщен. сост.	Մարмара V погружен V погружен Cеравеи	Մարмара V погружен V погружен Cеравеи	Մարмара V погружен V погружен Cеравеи				
1. Զանգվար. գետ 1 հիդրոլոգիան 1 ջրը	Անդրդպարագալում Անձնագիր	2,84	2,69	5,27	1,59 1189,9	1276,5	1026,0	814,1	934,0	785,0		
2. Կոռնիկ դրազդ. Կոնդ	»	»	2,84	2,70	4,92	2,84 1152,9	1271,2	1050,0	880,9	902,5	755,0	
3. Ճնողան քարան. Նարճոմ	»	»	»	2,81	2,60	7,47	3,07 950,7	976,2	928,4	813,4	826,9	800,0
4. Աբովյան Վ. Ա. Աբօվյան	»	»	»	2,84	2,62	7,66	2,62 1007,1	1088,8	938,2	770,6	809,8	721,7
5. Սուզը-վարաժիչ Հիմնային կամ թութել գերեզմ.	Վերին слой Ներքին շերտ Դյոր. և լանջե	»	»	»	2,89	2,61	9,68	4,12 603,8	627,1	577,5	—	—
6. Թումանյան Տօմախ գել	Բազալտ	»	»	2,91	2,66	8,59	3,80 1016,1	1115,0	948,3	892,0	957,5	800,0
			2,88	2,77	3,82	1,39 1404,4	1475,9	1342,0	994,0	1002,0	986,1	

Հ Ա Խ Ա Հ Ա Կ

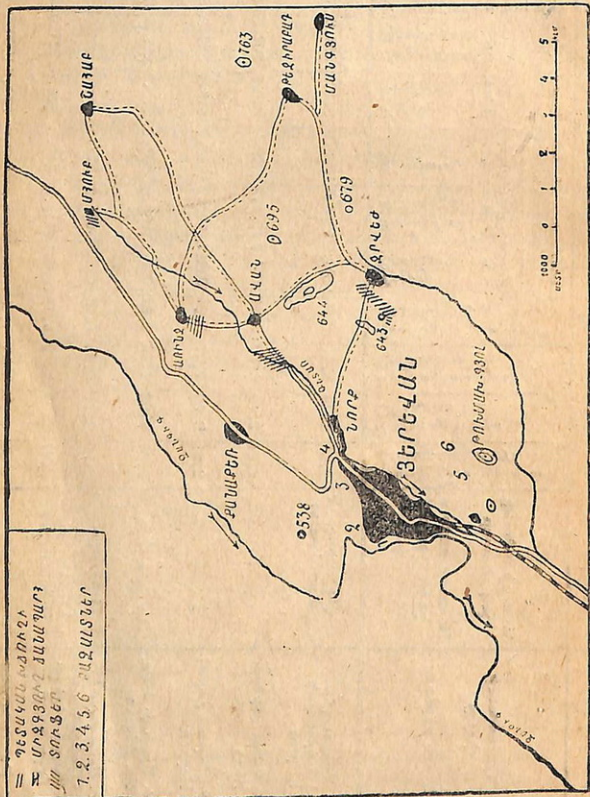
Տ Ե Ր Ա Խ Ա Հ Ա Կ

Հ Ա Խ Ա Հ Ա Կ

Հ Ա Խ Ա Հ Ա Կ

III. Խ. ՀԱՅԱՍՏԱՆԻ ՄԻ ՔԱՆԻ ՇԻՆՄՐԱՐԱԿԱՆ  
ԳՈՒՆԱՎՈՐ ՔԱՐԵՐ

Խ. Հայաստանի մի քանի վարերի շինարարական գունավոր քարերի մեր կատարած ուսումնասիրությունը պետք է համարել սկզբնական քայլ և ընդհանուր բնույթ կրող։ Այդ քարերի շինարարական հատկությունների ուսումնասիրությունը վերջնական համարել չի կարելի։



Նախ, մեր տված տեղեկությունները՝ բռնած մակերեսի, շերտի հաստության և պաշարի մասին, արդյունք են միմիայն արտաքին մակերեսային դիտողության, վորը չի տալիս լրիվ պատկեր պաշարի և վորակի մասին:

Ցերկորդդ, վորձի լենթարկված նմուշները վերցված են արտաքին շերտերից, վորոնց հատկությունները չեն բնորոշում ամբողջ զանգվածի վորակը: Արտաքին շերտերը դարերի ընթացքում լենթակալ լեն լեղել մեխանիկական և քիմիական հողմնահարման, ուստի և ավելի պակաս ցուցանիշներ պետք ե տալին, քան ներքեի զանգվածները:

Հիշված քարերի առավելություններն այն են, վոր ունեն տարբեր տեսակի գույներ և լեռանգներ, հեշտ մշակվում և հղկվում են, վորոշ տեսակներն ընդունում են փայլ, իսկ Մեծ Պարսի և Վորդնավ գյուղերի կանաչ տեսակի «տուփողենները» պատրաստի ձև ունեն և կարող են գործադրվել առանց կարելու:

Վերջապես, գունավոր քարերից Շահնազար գյուղի կարմիր «տուփուավան» կարելի յե ոդտագործել վոչ միայն վորպես շինարարական քար լեռեսվածքի համար, այլև վորպես շինարարական ներկ-շինարական և այլ նպատակների համար:

Կատարված փորձերի արդյունքները հիմք են տալիս մտածելու այդ բնական-գունավոր քարային շինանյութերն ոգտագործելու մասին:

1. Մ. Քյորֆլու գյուղի տուփոգեներ-ի զանգվածը գտնվում է Ալլահվերդու շրջանի Մեծ-Քյորփլու գյուղից լեռկու կիլոմետր հր. «Աղդաշ» կոչված վայրում, Ալբում կայսրանից ուղիղ գծով լոթը կլմ գեպի հարավ-արեւելք: Հստ գույների բաժանվում են 2 խմբի:

ա) կանաչ գույնի մանրահատիկ ստրուկտուրա ունեցող տեսակները (պարունակում են միներալներից՝ հեծատիտ, դաշտային շպատ պոլիսինետիկ մակով) ձգվում են «Աղդաշ» վայրից գեպի Դելեագետը մոտ լեռկու կլմ լեռկարությամբ, հինգ մետրից ավելի հաստություն ունեցող շերտերով:

Մակերեսից գեպի ներքեւ մոտ մեկ մետր հաստության շերտերը, վորոնք անմիջականորեն լենթակա լեն լեղել մթնոլորտային տեղումների ազդեցության, հողմնահարված են և վերածված մասն կտորների, իսկ ներքեւ մասսան, վորը չի լենթարկվել մթնոլորտային ազենտների ազդեցության, ամբողջական և զերծ քայլայումից: Խոնավություն պարունակելու դեպքում ստանում են մուգ-կանաչ գույն, ողաչորության՝ բաց-կանաչ:

բ) Սպիտակ-դեղնավուն, մանրահատիկ ստրուկտուրա ունեցող տեսակները (պարունակում են հեծատիտ, դաշտային շպատ (քիչ) և քայլայված նյութեր) «Աղդաշ»-ից ձգվում են գեպի արևելք ութից

ավելի մետք հաստությամբ: Առնավությունն պարունակելու դեպքում ստանում են դեղին գույն:

Թե կանաչ և թե սպիտակեղնավուն տեսակները հեշտ մշակվում են և էնթարկվում հղման (առանց փայլի): Վորպեսզի պարզ հաշկացողությունն ունենանք այդ քարերի կիրառման և շինարարական հատկությունների մասին, զորպես յերեսվածքի նյութեր անհրաժեշտ ե ուշադրության առնել ներքեւ բերված ֆիզիկո-մեխանիկական հատկությունները, զորոնք տրված են ամփոփ ձևով:

Հատկություններ	Սպիտակեղնավուն տեսակ	Կանաչ տեսակ
1. Տեսակաբ. կշիռ (չոր գլած.)	2,61	2,31
2. Ծալվալային Ճ Ճ Ճ	1,83	1,90
3. Մակուտկենութ. (ըստ կշիռի)	28,88%	17,75
4. Ջուր ծծելու ունակութ.	16,21%	10,53
5. Հիդրոսկոպիկ խոնավութ.	1,44%	3,72
6. Մառնակայունություն	7	7
7. Կարծրություն (ըստ Մոռսի շալայի)	1—2	1—2
8. Ժամանակ՝ ճնշման ընդ- դիմության kg/cm <sup>2</sup>	Միջնաը 362,8 մաքսիմ. 393,7, մինիմ. 335. Միջնաը 318,3 մաքսիմ. 351, մինիմ. 285,7	Միջնաը 544,8 մաքսիմ. 607,1, մինիմ. 512 Միջնաը 425,1, մաքսիմ. 449,0, մինիմ. 391,8

Մառնակայունության փորձի լենթարկված նմուշների վրա քայլացումը նկատվել է 7-րդ սառեցումից հետո: Կանաչ տեսակի նմուշների քայլացումն սկսվել է անկուններից ու կողերից և տարածվել հարթ մակերեսային բարակ շերտով: Սպիտակեղնավին տեսակները, բացի հարթ-մակերեսային քայլացումից, տվել են նաև անջատումներ-ճաքելու հետևանքով:

Աղյուսակից յերեւամ ե, զոր վերը հիշված «առուժողենները» մեխանիկական հողմանարման տեսակետից վոչ լրիվ կայուն նյութեր են, ուստի նրանց գործածությունը խոնավ վայրերում և մթնոլորտացին տեղումներին անմիջականորեն լենթակա տեղերում (հիմքերում, պատերի դուրս ընկած մտսերում և այլն) անթուլլատրելի լի և վոչ նպատականարմար: Մնացած շին-հատկություններով մոտ են առուժերին: Իսկ ամրությունը մեկ և կեսից յերկու անգամ ավելի է քան տուժերինը:

Յերկաթուղու հետ կապված ե Քլորիդու-Ալբում կ. և Քյորիլու-Մադախիլ կ. միջայուղալին ճանապարհով:

**2. Ս. Պարնի գլուղի կանաչ «Տուֆովեն».** — Նալբանդ կալարաշնից 5 կլմ հեռու, Մեծ Պարնի և Ալղիբերի գլուղերի միջանկալ տարածությունը՝ մոտ չերկու քառ. կլմ մակերեսով, տասներկու մետրից ավելի հաստության շերտերով բոնում և կապտականաչ «տուֆովեն»ներից զանդվածը: Մասսան բաղկացած և զուգահեռ շերտերից (ՊԼԻՏ-ԱԿ), ուղղաձիգ ձևով դասավորված և յուրաքանչյուր շերտի հաստությունը տասանվում է 10-ից 20 սմ միջև:

Ալղիբերի գլուղին կից մասսան (բաց կանաչ) փափուկ եւ, ճեշտ մշակվող և մեխանիկական հողմնահարման տեսակետից անկայուն: Դեպի Մեծ Պարնի ճգվող մուգ կանաչ տեսակներն ունեն միապաղպակառուցվածք, կարծր են և պինդ: Վերջինս հղիման լենթարկվելիս ստանում եւ հիանալի փայլ՝ մուգ-կանաչ գույնի արտացոլումով:

Վորպես չերեսվածքի քար կարող եւ փոխարինել մարմարին և գրանիտին: Ալղ չերեսում և ստորև բերված աղուսակից:

**Ծավալալին կշիռ չորացրած վիճակում 2,33**

**Տեսակաբար »      »      » 2,40**

**Ծակուակենություն լստ կշուի 3,000<sup>0</sup>₀**

**Զուր ծծելու ունակություն լստ կշուի 1,270<sup>0</sup>₀**

**Սառնակալունութ. մինչև 25-րդ սառեցումը չի քայլալիվել\*)**

**Կարծրություն լստ Մոռուի սանդղակի**

(շալա) 4,5—5,5

Ժամանակավոր ճնշման ընդդիմություն  $kg/cm^2$  ողաչոր գրությամբ մինիմում 863, մաքսիմում 940, միջինը 901\*): Բացասական և աչքի ընկնող հատկությունը նրա ճաքվածքներն են: Վերևի շերտերի քարերը մեծ մասամբ ունեն անկանոն ձևի ճաքեր, վորը հետևանք եւ յերկրի կեղեւի տատանումների:

Յերկաթուղու հետ կապված և Պարնի-Նալբանդ միջդյուղալին ճանապարհով, վորտեղ չոր լեղանակներին բեռնատար ավտոները կարող են աշխատել:

**3. Վորգնավ գլուղի «Տուֆովեն»-ի դանդվածը գտնվում է Համամլու կալարանից 7 կլմ հեռու, վորդնավ գլուղի մոտ «Կանաչ սաշի քարահանք» վայրում: Յերկաթուղու հետ կապված և Վորգնավ-Համամլու միջդյուղալին ճանապարհով:**

«Տուֆովեն» դասավորված և զուգահեռ շերտերով, հորիզոնական հարթությամբ: Յուրաքանչյուր շերտի հաստությունը 10—15 սմ ե (սալերի ձևով), իսկ ըստ խորության մասսայի հաստությունն ավելի լի 6 մետրից:

\*) Սառնակայունության և ժամանակավոր ճնշման ընդդիմության փորձի յենթարկված նմուշներն ունեցել են ճաքեր:

Նկատի ունենալով, վոր Վորդնավ գյուղի «տուֆոգենը» կարծր ե (պարունակում ե դաշտալին շպատ, կվարց (քիչ), մագնետիտ (քիչ), ունի մաշման մեծ դիմագրություն, քիչ ծակոտկեն ե, սառնակալուն, միջահատիկ, զերծ ճաքերից, հղկելիս փայլ ե ստանում, դասավորված ե զուգահեռ շերտերով և կարելի լի հեշտությամբ պատրաստել ցանկացած մեծության ու հաստության սալեր, ուստի հարմար է ոգտագործել այդ քարը մալթեր սալահատակելու, սանդուխքների և այլ նման նպատակների համար:

### Ֆիզիկո-մեխանիկական հատկությունները

Տեսակարար կշիռ չոր վիճակում 2,65

Ծալալալին » » » 2,54

Ծակոտկենություն 4,15<sup>0</sup><sub>0</sub>

Չուր ծծելու ունակութ. ըստ կշորի 1,40<sup>0</sup><sub>0</sub>

Հիգրոսկոպիկ խոնավություն 25 (մինչև 25-րդ սառեցումը քայլքայում չի նկատվել)

Ժամանակավոր ճնշման ընդդիմութ. kg/cm<sup>2</sup> ողաչոր վիճ. միջ. 1027 ջրով հագեց. » 997,

4. Շահենազար գյուղի «Տուֆոլավաներ». — Վարանցովկայի լինթացրջանի Շահենազար գյուղից գեպի արևմուտք 2 կլմ հեռավորությամբ գտնվում է տուֆոլավաների քարահանքը: Ցերկաթուղով հետ կապված ե Վարանցովկա-Մտեփանավան-Բոլագերան խճուղով: Բոնում ե մոտ 1,5-2 քառ. կլմ մակերես, 10-15 մ հաստությամբ: Գերեկ մասում (բլրի) տարածվում են սպիտակ մանրահատիկ տեսակները 1-3 մ հաստությամբ, գեպի ներքև շարունակվում են՝ վարդագույն-փափուկ, վարդագույն-կարմիր խալերով, կարմիր-փափուկ, մուգ-վառ-կարմիր (կոշտ) տեսակները:

(ա) Սպիտակ հատիկավոր տեսակները հեշտ են մշակվում, հղկվելիս ստանում են արհեստական մարմարի տեսք (առանց փայլի): Իրենց հատկություններով բավարարում են շինարարական պահանջները՝ վորպես պատի և լերեսվածքի քար:

(բ) Կարմիր տեսակներից լերեսվածքի համար կարելի լի ոգտագործել վառ-կարմիր տեսակը, վորը հղկվելիս ստանում ե փայլ, իսկ փափուկ կարմիր տեսակը՝ պատի համար փայլ չի ընդունում: Կարմիր տեսակների սառնակայունությունը պետք ե համարել վոչ բավարար, թեև այդ տեսակից (փափուկ) պատրաստված ե Շահենազար գյուղի լեկեղեցին, վորն ունի 100-120 տարվա գոյություն, բայց քարերի վրա քայլքայման և անջատման գեպերը չեն նկատված:

Հատկություններ	Սպիտակ հատիկավոր տեսակ	Կարմիր տեսակ
1. Տեսակաբար կշիռ չոր	2,51	3,06
2. Մագալային Ճ Ճ	1,84	1,82
3. Մակուկենություն	26,7% <sup>0</sup>	40,55% <sup>0</sup>
4. Զուր ծծելու ունակություն. (ըստ կշու)	13,88% <sup>0</sup>	8,39
5. Հիգրոսկոպիկ խոնավություն	1,20% <sup>0</sup>	—
6. Սառնակայունություն	18	6
7. Կարծրություն (ըստ Մոռուի սանդղ.)	3—4	3—4
8. Ժամ. ճնշմ. ընդդիմ. kg/cm <sup>2</sup> ոդաչոր	761,2 (միջինը)	—

5. Տահեազար գ. կարմիր «Տուֆոլավան» վորպես ներկու Մուզ կարմիր «տուֆոլավաների» տեսակները քնութիւն մեջ լենթարկվելով քայլայման՝ վերածվում են ներկի: Նրանք ունեն ամորֆ կազմություն, պարունակում են նկատելի քանակութիւնը հեմատիտ-քայլայմանը վիճակում (շլիֆ № 1 և 2): Սարք ըերված քիմիական անալիզից պարզ լերսում ե, վոր հիմնականում այդ տեսակները բաղկացած են լեռկաթ-սիլիկատից:

#### Քիմիական անալիզ<sup>\*)</sup>

$\text{SiO}_2$ —51,52%<sup>0</sup>,  $\text{Al}_2\text{O}_3$ —1,87%<sup>0</sup>,  $\text{Fe}_2\text{O}_3$ —40,13%<sup>0</sup>,  $\text{CaO}$ —0,75%<sup>0</sup>,  $\text{MgO}$ —հետքեր.  $\text{K}_2\text{O}$ ,  $\text{Na}_2\text{O}$ ,  $\text{MgO}$  և խոնավություն—4,74%<sup>0</sup>:

Լաբորատորիայում կատարված մեր փորձերից պարզել ե, վոր մուգ-կարմիր «տուֆոլավալից» ստացված ներկն իր հատկություններով և վորակով ավելի բարձր ե, քան նույն նպատակի համար գործադրվող միուս ներկերը:

Համեմատության համար ըերենք մի քանի պատրաստի ներկերի բաղադրությունը.

Ոխրա	ներկի փոշու քան.	50—60% <sup>0</sup>	Ոլիֆի քան.	40—50% <sup>0</sup>
Մումիա	»	»	»	32—36% <sup>0</sup>
«Տուֆոլավա»	»	»	»	50—60% <sup>0</sup>

Մի քառակուսի մ. մակերես ծածկելու համար ծախսվում ե

Ոխրայի ներկի փոշի՝ 60—75 գր

«Տուֆոլավա»-յի ներկի փոշի՝ 40—60 գր:

Բերված թվերն այն են ասում, վոր «տուֆոլավալից» ներկի ծած-

\*) Քիմիական անալիզը կատարել ե Պոլիտեխնիկական անալիտիկ քիմիայի դպսախոս Բ. Բուդդայանը.

կող հատկությունն ավելի բարձր ե և տալիս է ներկի խնայողություն 25-30% մի չափով:

Բարձր ջերմաստիճանի (500°), թթուների, հիմքերի և ծծմաշըածնի ազդեցությունից չի գունաթափում:

Լուսի և արևի ազդեցությունից նույնպես չի գունաթափում: Մումիանի և «տուփոլավայից» պատրաստած ներկով պատած իրերը լերկու և կես ամիս անընդհատ յենթարկվել են փորձի, վորից պարզվել ե, վոր մումիայի ներկով պատած իրերը գունաթափվել են (մուգ կարմրից-սե), իսկ «տուփոլավայինը՝ փոփոխության չեն յենթարկվել:

Իրենց ներկերու հատկությամբ կարմիր քարերի տարրեր շերտերը (ըստ խորության և գույների) տալիս են տարրեր արդյունքներ:

Մակերեսին մոտ գտնված մասսան - մուգ-կարմիր գույնի կոչատեսակները տալիս են բարձր վորակի ներկ: Ներքեկի՝ վառ-կարմիր և բաց կարմիր տեսակները, վորոնք մասնակի կամ բոլորովին չեն յենթարկվել հողմանարման, տալիս են համեմատաբար ավելի ցածր վորակի ներկեր: Մական փորձերի արդյունքները ցուցյ են ավել, վոր քայլայման միջոցով (արհեստական և բնական) բաց-կարմիր տեսակի քարերից նույնպես կարելի չե լավ ներկ ստանալ:

Հաշվի առնելով այն, վոր արհեստական քայլայումը բարձրացնում է ներկի ինքնարժեքը, նպատականարմար և բնական հողմանարումը: Դրա համար հիշված տեսակի քարերը պետք է մանրացնել (բուռնցքի մեծությամբ) և թողնել տեղում մթնոլորտային ագենտների ազդեցության տակ, մինչև նրանց լրիվ քայլայումը:

Ստացված ներկը կարող է գործադրություն գտնել փայտեր, մետաղներ ներկելու համար, վորպես ջրաներկ և ալին, թերևս հնարավոր լինի ոգտագործել կարմիր գույնի մատիտներ պատրաստելու համար:

Մշակման տեխնոլոգիան պարզ ե և կապված չի մեծ ծախսերի հետ: Հողմանարման յենթարկված տեսակները պետք է միան մարդացնել և մաղել 1600 անցք (см<sup>2</sup> վրա) ունեցող մաղով:

Ըստ արտաքին-մակերեսային դիտազության բոլոր տեսակի կարմիր քարերի պաշարը հասնում է մոտ 18 հազար խորանարդ մետրի: Մանրամասն հետախուզությունը, հավանական ե, կարզի, վոր հիշված պաշարը մինիմումն ե:

„ՏՈՒՓՈՂԵՐՆԱՐԱԿ“ ԽԵՎ „ՏՈՒՓՈՂՈՎՈՎՈՎՈՒՐՈՒՄ“ – „ԴՍԱԳՈՎՈՐԱԿԱՐԱԿԱՐՈՒՄ“

Աղուանակ 3

Վայրի անունը Наменование породы	Վայրի Месторождение породы	Դաշտական գույքի պահպան և սպառական գույքի պահպան									
		Համարական գույքի պահպան	Համարական գույքի պահպան	Համարական գույքի պահպան	Համարական գույքի պահպան	Համարական գույքի պահպան	Համարական գույքի պահպան	Համարական գույքի պահպան	Համարական գույքի պահպան	Համարական գույքի պահպան	Համարական գույքի պահպան
«Տուփողեր» գույքի վեհական աշխատավորության համարական գույք	Ար. Քրդիր գյուղ շենք.	2,611,8328,88%	16,21%	1,44%	7	1—2	362,8	335	393,7318,3285,7	351	
«Տուփող» լուսական գույք	Բ. Կորպլա	2,311,9017,75%	10,53%	3,72%	7	1—2	544,8	512	607,1425,1301,8	449	
«Տուփող» լուսական գույք	2,402,333,00%	1,27%	—	25	4,5—5,5	901,5	863	940	—	—	
«Տուփող» լուսական գույք	Ա. Պարին	2,652,544,15%	1,40%	0,39%	25	6—7	1027,1009	1054	952,6926,2997,4	—	
«Տուփող» լուսական գույք	Ս. Վորնավ	2,652,0223,77%	6,82%	1,28%	16	3—4	—	—	—	—	
«Տուփող» լուսական գույք	Չինջուկ (Չօվան)	3,061,8240,55%	8,34%	—	6	3—4	—	—	—	—	
«Տուփող» լուսական գույք	Ս. Շահնազար	2,511,8426,7%	13,88%	1,20%	18	3—4	761,2711,7	842	—	—	

## РЕЗЮМЕ

С целью выявления технических свойств применяемых в строительстве ССР Армении природных материалов местного происхождения, Лабораторией строительных материалов Эриванского Политехнического Института было предпринято систематическое изучение этих материалов.

В первую очередь изучены строительные камни Эриванского района: туфы и базальты, а также цветные камни некоторых районов Армении, кои в последнее время привлекают внимание наших строителей, для архитектурных целей.

Нами определены следующие свойства изучаемых каменных материалов: удельный вес, об'емный вес, пористость, водопоглощаемость, сопротивление сжатию, изнашиваемость, морозостойкость, теплопроводность и способность принятия полировки причем определение теплопроводности имеет ориентировочный характер и установлено по кривой проф. Некрасова, исходя из об'емных весов этих материалов.

Результаты работ в цифровых выражениях приведены в трех сводных таблицах.

В I таблице приведены данные, касающиеся туфов Эриванского района, во II таблице—Эриванских базальтов, в III таблице—указанных выше цветных камней.

---

## Յ Ա Ն Կ

Ինժ. Դ. ՀԱԿՈԲՅԱՆՑԱՆ	3
Ագի և ջրային շոգու խառնուրդով բանող շարժեչներ	3
ՊՐՈՖ. ԱԼ. ՀԱԿՈԲՅԱՆ	
Անընդհատ միջավայրում ներքին լարումների բաշխումը	15
Ինժ. Հ. ԽԱԼԻՔԱԽՉՅԱՆ	
Ցեմենտի կծկումը ջերմաստիճանի և խոնավության ներքո	25
ИНЖ. Р. С. АКОПЯН	
Упругие свойства пемзового бетона	45
Ի. ԱՎԱԳՅԱՆ	
Խորհրդային Հայաստանի բնական քարերի մի քանի տեսակները և նրանց հատկությունները	55



ԳԱԱ Հիմնարար Գիտ. Գրադ.



FL0009612

466

ԳԻՒԾ 2 Ռ. 50 Կ.

A 17122

17122